

КВАНТОВЫЙ $SU(3)$ -ФЕРРИМАГНЕТИК НА ТРЕУГОЛЬНОЙ РЕШЕТКЕ В МАГНИТНОМ ПОЛЕ

*A. С. Мартынов, Д. М. Дзебисашвили**

*Институт физики им. Л. В. Киренского
Сибирского отделения Российской академии наук
660036, Красноярск, Россия*

Поступила в редакцию 21 июля 2024 г.,

после переработки 30 августа 2024 г.

Принята к публикации 4 сентября 2024 г.

Построены фазовые диаграммы (магнитное поле H —одноионная анизотропия D) для трехподрешеточного $SU(3)$ -ферримагнетика на треугольной решетке с разными спинами подрешеток ($S = 1, 1/2, 1/2$) при различных значениях параметров обмена I (между спинами $S = 1$ и $S = 1/2$) и J (между спинами $S = 1/2$). Для корректного учета алгебры генераторов группы $SU(3)$, включающей квадрупольные операторы, использовалось представление операторов Хаббарда. Показано, что в зависимости от значений параметров системы могут быть реализованы ферримагнитные Y - или перевернутая Y (\bar{Y})-фазы, скошенная V -фаза (спины $S = 1/2$ параллельны), веерная W -фаза, а также коллинеарные ферримагнитная и ферромагнитная фазы. В случае $I < J$ на фазовой диаграмме возникает линия, на которой $SU(3)$ -ферримагнетик распадается на две независимые подсистемы, одна из которых параметрическая со спинами $S = 1$, а вторая антиферромагнитная со спинами $S = 1/2$ в нулевом эффективном магнитном поле. В спин-волновом приближении рассчитаны зависимости средних значений квадрупольного момента и дипольных моментов трех подрешеток от магнитного поля и параметра одноионной анизотропии. Проанализирован спектр спин-волновых возбуждений как при $I > J$, так и при $I < J$. Показано, что при $I = J$ в $SU(3)$ -ферримагнетике возникает случайное вырождение, которое может быть снято при учете квантовых флюктуаций.

DOI: 10.31857/S0044451025010092

1. ВВЕДЕНИЕ

В последнее время значительно возрос интерес к материалам, в которых релятивистское спин-орбитальное взаимодействие приводит к проявлению квантовых эффектов на макроскопическом уровне [1, 2]. Такие материалы принято называть квантовыми магнетиками [3]. Одним из наиболее ярких проявлений квантовых эффектов является значительное сокращение среднего значения спина в магнетиках с $S > 1/2$ [4]. Причина сокращения спина обусловлена учетом одноионной анизотропии (ОА), возникающей вследствие спин-орбитального взаимодействия, или учетом парных взаимодействий, связанных с высшими спиновыми инвариантами вида $(\mathbf{S}_f \mathbf{S}_g)^{2S}$ [5–15]. Для магнитных систем, в

которых указанные негейзенберговские взаимодействия достаточно сильны, были обнаружены фазы спинового нематика, которые характеризуются нулевой намагниченностью даже при нулевой температуре (т. е. полное сокращение спина), но в которых имеется спонтанное нарушение симметрии за счет квадрупольных параметров порядка (средних значений операторов, билинейных по компонентам спина) [10]. Усилинию указанных квантовых эффектов способствуют фruстрации [2], низкая температура, низкая размерность системы [16], а также фактор многоподрешеточности.

Например, в многоподрешеточных ферримагнетиках с различными магнитными ионами проявление квантовых эффектов может быть значительно усилено за счет возможной компенсации эффективного поля, действующего на спины магнитоактивных ионов [17–26]. Действительно, как было показано в работе [27], в ферримагнетике с двумя подрешетками квантовое сокращение спина в анизотроп-

* E-mail: ddm@iph.krasn.ru

ной подрешетке ($S = 1$) при низких температурах может быть существенно уменьшено под действием поля обменного взаимодействия со стороны изотропной подрешетки ($S = 1/2$). Если же имеется более двух подрешеток, то суммарное эффективное поле двух изотропных антиферромагнитно связанных подрешеток, действующее на ионы третьей анизотропной подрешетки, может обратиться в нуль, устранив тем самым упомянутый механизм подавления квантового сокращения спина.

В этой связи одна из задач теории квантовых магнетиков видится в поиске такой микроскопической модели, которая позволила бы предсказать и изучить новые квантовые эффекты, имеющие перспективы как с экспериментальной точки зрения, так и с прикладной. С учетом сказанного выше очевидно, что один из путей в данном направлении состоит в изучении совместного действия нескольких различных аспектов, способствующих реализации явлений квантового магнетизма.

В контексте данного направления развития теории были выполнены, например, работы [28–30], в которых была предложена модель трехподрешеточного ферримагнетика со смешанными спинами $S = 1, 1/2, 1/2$ на треугольной решетке с изинговским обменным взаимодействием и ОА в подсистеме спинов с $S = 1$. В указанных работах главный акцент исследований, основанных на методе Монте-Карло, был сделан на построении фазовых диаграмм температура–ОА, а также на поиске интересного с технологической точки зрения режима компенсации, в котором достигается нулевая полная намагниченность при температуре ниже критической. Важно отметить, что наряду с ОА в подсистеме спинов $S = 1$ предложенная в [28–30] модель обладала такими важными свойствами, как низкая размерность и геометрическая фruстрация, которые, как отмечалось выше, способствуют усилению квантовых эффектов.

В недавней работе [31] авторами была исследована модель $SU(3)$ -ферримагнетика ($SU3F$), которая в основных моментах совпадает с моделью, предложенной в [28–30], однако имеет два важных обобщения. Во-первых, вместо изинговского обменного взаимодействия в модели $SU3F$ используется изотропный гейзенберговский обмен. Как известно, в неколлинеарных магнитных структурах поперечные вклады в обменное взаимодействие являются источником нулевых квантовых колебаний и, как следствие, антиферромагнитных флуктуаций (АФ). Эти

АФ, так же как и ОА, могут приводить к квантовому сокращению спина, и поэтому квантовые эффекты, обусловленные АФ и ОА, следует различать. Второе важное отличие $SU3F$ от модели, предложенной в [28–30], состоит в использовании разных значений интегралов I и J обменных взаимодействий между подрешетками со спином $S = 1$ и $S = 1/2$, и между двумя подрешетками с $S = 1/2$ соответственно. Как будет показано ниже, для разных соотношений между обменными интегралами фазовые диаграммы $SU3F$ качественно отличаются.

Кроме того, необходимо указать на важную концептуальную особенность модели $SU3F$. Она связана с тем, что наличие немалой ОА, как известно [8–12, 14, 15, 27, 32–36], приводит к необходимости учета полного набора генераторов алгебры $SU(3)$, действующих в гильбертовом пространстве состояний спина $S = 1$. Поэтому для описания таких систем алгебры обычных спиновых операторов недостаточно. Чтобы подчеркнуть данное обстоятельство, предложенная в работе [31] модель была названа моделью квантового $SU(3)$ -ферримагнетика.

Общая особенность модели $SU3F$ состоит в одновременном учете нескольких из перечисленных выше аспектов, способствующих проявлению квантовых эффектов: ОА, АФ, многоподрешеточность, низкая размерность, фрустрация обменных связей.

Исследование $SU3F$ в работе [31] проводилось в отсутствие внешнего магнитного поля и при нулевой температуре. Были рассчитаны зависимости средних моментов подрешеток и квадрупольного момента от параметра ОА при различных соотношениях обменных интегралов I/J . Оказалось, что критическое значение ОА D_c , при котором $SU3F$ переходит в квадрупольную фазу, может быть много меньше как I , так и J . Кроме того, при $I > J$ в зависимости полного момента M от параметра ОА наблюдалась точка компенсации, т. е. обращение в нуль M при $D < D_c$.

Данная работа является логическим продолжением проведенных в [31] исследований. Ее основная цель состоит в построении фазовой диаграммы $SU3F$ в координатах внешнее магнитное поле — параметр ОА, а также в анализе модификации магнитной структуры и параметров порядка при пересечении границ различных фаз. Расчет энергии основного состояния и определение спиновой конфигурации, отвечающей данной энергии, проводятся в приближении среднего поля в пределе нулевых температур. Последнее условие, как известно, является

недостижимым для метода Монте-Карло, использованного в цитированных выше работах [28–30]. Для корректного учета алгебры генераторов группы $SU(3)$ в подсистеме спинов $S = 1$ применяется формализм операторов Хаббарда [11, 35, 37]. При расчете параметров порядка проводится бозонизация спиновых операторов: для подсистемы спинов $S = 1/2$ используются преобразования Гольштейна–Примакова, а для подсистемы спинов $S = 1$ – формализм индефинитной метрики [11, 14].

Дальнейшее изложение статьи организовано следующим образом. Во втором разделе сформулирован гамильтониан SU3F во внешнем магнитном поле, лежащем в плоскости легкого намагничивания. В разд. 3 проводится $SU(2)$ -преобразование спиновых операторов с $S = 1/2$, отвечающее повороту локальных осей координат. В разд. 4 проводится преобразование Гольштейна–Примакова для подсистемы спинов с $S = 1/2$. В пятом разделе описывается переход к представлению операторов Хаббарда и их трехкратное $SU(3)$ -преобразование для диагонализации одноионного гамильтониана подсистемы спинов с $S = 1$. Бозонизация операторов Хаббарда с последующим получением дисперсионного уравнения описывается в разд. 6. В седьмом и восьмом разделах анализируются особенности фазовых диаграмм и характер изменений параметров порядка при $I < J$ и $I > J$ соответственно. В разд. 9 продемонстрировано вырождение среднеполевого основного состояния SU3F при $I = J$. В разд. 10 обсуждаются изменения спектра спин-волновых возбуждений при увеличении магнитного поля при разных соотношениях параметров обмена. Основные выводы работы представлены в разд. 11.

2. МОДЕЛЬ $SU(3)$ -ФЕРРИМАГНЕТИКА

Кристаллическая структура рассматриваемого SU3F представлена на рис. 1. Красными кружками отмечены узлы подрешетки со значением спина $S = 1$, обозначаемой далее как L -подрешетка. Зеленым и синим цветом отмечены узлы подрешеток со значением спина $S = 1/2$. Эти подрешетки далее обозначаются символами F и G соответственно. Периодичность системы определяется одинаковыми по модулю базисными векторами \mathbf{a}_1 и \mathbf{a}_2 . Векторы ξ и ζ соединяют узлы из разных подрешеток.

Гамильтониан SU3F во внешнем магнитном поле может быть представлен в виде

$$\mathcal{H} = \mathcal{H}_A + \mathcal{H}_{exch} + \mathcal{H}_{field}, \quad (1)$$

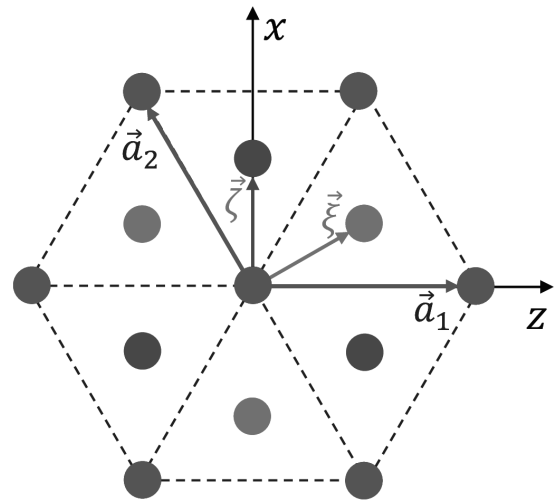


Рис. 1. Кристаллическая структура трехподрешеточного SU3F на треугольной решетке. Красными, зелеными и синими кружками обозначены положения узлов в L -, F - и G -подрешетках соответственно, $|\mathbf{a}_1| = |\mathbf{a}_2| = a$ – векторы решетки Браве, а ξ и ζ – векторы базиса

где

$$\begin{aligned} \mathcal{H}_{exch} &= J \sum_{\{fg\}} \mathbf{S}_f \mathbf{S}_g + I \sum_{\{fl\}} \mathbf{S}_f \mathbf{S}_l + I \sum_{\{gl\}} \mathbf{S}_g \mathbf{S}_l, \\ \mathcal{H}_A &= D \sum_l (S_l^y)^2, \\ \mathcal{H}_{field} &= -h \sum_f S_f^z - h \sum_g S_g^z - h_L \sum_l S_l^z. \end{aligned} \quad (2)$$

Оператор \mathcal{H}_{exch} описывает парное обменное взаимодействие между ближайшими спинами из разных подрешеток. Нижние индексы f , g и l у операторов спина обозначают узлы из F -, G - и L -подрешеток соответственно. Обменный интеграл J определяет интенсивность антиферромагнитных взаимодействий между ближайшими спинами из F - и G -подрешеток, а интеграл I – из $F(G)$ - и L -подрешеток. Фигурные скобки под тремя символами суммы в (2) означают, что суммирование ведется только по ближайшим узлам, и каждая пара узлов учитывается только один раз. Оператор \mathcal{H}_A описывает влияние ОА типа легкая плоскость на спины $S = 1$ в L -подрешетке. Параметр одноионной анизотропии D – положительный. Ось y направлена перпендикулярно плоскости ферримагнетика xz , являющейся, следовательно, плоскостью легкого намагничивания. Оператор \mathcal{H}_{field} учитывает зеемановскую энергию спинов во внешнем магнитном поле H , лежащем в плоскости

ферримагнетика (легкой плоскости) и определяющими параметры $h = g\mu_B H$ и $h_L = g_L\mu_B H$, где μ_B — магнетон Бора, а g и g_L — факторы Ланде для $F(G)$ -подрешетки со спином $S = 1/2$ и L -подрешетки с $S = 1$ соответственно. В общем случае g -факторы могут различаться для разных подрешеток. В данной работе мы будем считать, что моменты формируются без участия орбитальных степеней свободы, т. е. являются чисто спиновыми, и, таким образом, $g_L = g = 2$.

Направление магнитного поля и тип ОА способствуют тому, что средней момент L -подрешетки \mathbf{R}_L оказывается ориентированным в плоскости xz , перпендикулярной оси анизотропии y . Кроме того, учитывая характер обменных взаимодействий, а также результаты работы [38], можно утверждать, что магнитная структура основного состояния SU3F при любых значениях D и H характеризуется планарной конфигурацией средних значений спинов. Поэтому без ограничения общности будем считать, что спины всех трех подрешеток лежат в плоскости ферримагнетика xz . Ось z исходной системы координат удобно направить вдоль магнитного поля.

3. $SU(2)$ -ПРЕОБРАЗОВАНИЕ ГАМИЛЬТОНИАНА

Вычисление энергии основного состояния SU3F целесообразно начать с проведения унитарного преобразования гамильтониана \mathcal{H} :

$$\mathcal{H}(\theta_F, \theta_G) = U_2(\theta_F, \theta_G) \mathcal{H} U_2^+(\theta_F, \theta_G), \quad (3)$$

с оператором

$$U_2(\theta) = \prod_{f \in F} \exp\left(-i\theta_F S_f^x\right) \prod_{g \in G} \exp\left(-i\theta_G S_g^y\right). \quad (4)$$

Преобразование (3) позволяет перейти для F - и G -подрешеток к новым локальным координатам, в которых оси квантования z' и z'' повернуты на углы θ_F и θ_G вокруг оси y и направлены вдоль равновесных намагниченностей \mathbf{R}_F и \mathbf{R}_G соответственно (см. рис. 2).

Унитарное преобразование (3) гамильтониана (1) отвечает следующей формальной замене спиновых операторов из F - и G -подрешеток [39]:

$$\begin{aligned} S_f^x &\rightarrow S_f^x \cos \theta_F + S_f^z \sin \theta_F, & S_f^y &\rightarrow S_f^y, \\ S_f^z &\rightarrow S_f^z \cos \theta_F - S_f^x \sin \theta_F, \end{aligned} \quad (5)$$

$$\begin{aligned} S_g^x &\rightarrow S_g^x \cos \theta_G + S_g^z \sin \theta_G, & S_g^y &\rightarrow S_g^y, \\ S_g^z &\rightarrow S_g^z \cos \theta_G - S_g^x \sin \theta_G. \end{aligned} \quad (6)$$

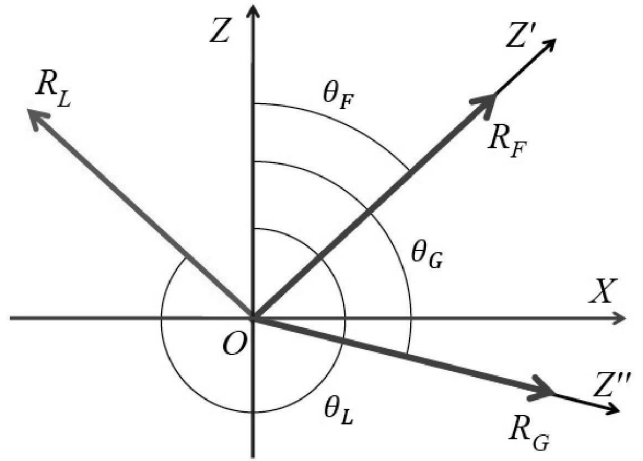


Рис. 2. Поворот локальных осей координат при унитарном преобразовании (3). В F - и G -подрешетках с $S = 1/2$ оси z поворачиваются на углы θ_F и θ_G и занимают новые положения z' и z'' . Локальные координаты в L -подсистеме с $S = 1$ остаются неизменными, а угол, образованный моментом R_L и осью z , обозначен посредством θ_L

В результате оператор Гамильтона (1) преобразуется к виду

$$\begin{aligned} \mathcal{H} = & D \sum_l (S_l^y)^2 + \\ & + J \sum_{\{fg\}} \{(S_f^x S_g^x + S_f^z S_g^z) \cos(\theta_F - \theta_G) + \\ & + S_f^y S_g^y + (S_f^z S_g^x - S_f^x S_g^z) \sin(\theta_F - \theta_G)\} + \\ & + I \sum_{\{fl\}} \{(S_f^x S_l^x + S_f^z S_l^z) \cos \theta_F + S_f^y S_l^y + \\ & + (S_f^z S_l^x - S_f^x S_l^z) \sin \theta_F\} + \\ & + I \sum_{\{gl\}} \{(S_g^x S_l^x + S_g^z S_l^z) \cos \theta_G + S_g^y S_l^y + \\ & + (S_g^z S_l^x - S_g^x S_l^z) \sin \theta_G\} - \\ & - h \sum_f \{S_f^z \cos \theta_F - S_f^x \sin \theta_F\} - \\ & - h \sum_g \{S_g^z \cos \theta_G - S_g^x \sin \theta_G\} - h_L \sum_l S_l^z, \end{aligned} \quad (7)$$

где операторы S_f^β и S_g^β ($\beta = x, y, z$), относящиеся к F - и G -подсистемам, определяют проекции спиновых моментов на соответствующую индексу β ось в новых (поворнутых) локальных системах координат.

4. ПРЕОБРАЗОВАНИЕ ГОЛЬШТЕЙНА – ПРИМАКОВА

Согласно изложенной во введении стратегии вычисления энергии основного состояния $SU3F$, проведем преобразование Гольштейна – Примакова отдельно для F - и G -подрешеток:

$$\begin{aligned} S_f^+ &= \sqrt{2S - a_f^+ a_f^-} \cdot a_f, & S_f^z &= S - a_f^+ a_f^-, \\ S_g^+ &= \sqrt{2S - b_g^+ b_g^-} \cdot b_g, & S_g^z &= S - b_g^+ b_g^-, \end{aligned} \quad (8)$$

где операторы рождения $a_f^+(b_g^+)$ и уничтожения $a_f(b_g)$ бозонов описывают переходы спина в $F(G)$ -подрешетке на узле $f(g)$ из состояния $|\uparrow'\rangle(|\uparrow''\rangle)$, отвечающего ориентации спина вдоль оси $z'(z'')$, в состояние с противоположной ориентацией $|\downarrow'\rangle(|\downarrow''\rangle)$ и обратно.

Результат подстановки (8) в гамильтониан (7) запишем в виде

$$\mathcal{H} = E_0 + \mathcal{H}^{(0)} + \mathcal{H}^{(1)} + \mathcal{H}^{(2)}. \quad (9)$$

В этом выражении

$$\begin{aligned} E_0 &= J_0 S^2 N \cos(\theta_F - \theta_G) - \\ &- h S N (\cos \theta_F + \cos \theta_G), \end{aligned} \quad (10)$$

а следующие три операторных слагаемых $H^{(n)}$ ($n = 0, 1, 2$) классифицируются по степеням бозе-операторов n . Величина N в формуле (10) обозначает число узлов в подрешетке.

Оператор $\mathcal{H}^{(0)}$ представляет собой сумму одноионных гамильтонианов L -подсистемы:

$$\mathcal{H}^{(0)} = \sum_l \mathcal{H}_0(l),$$

где

$$\mathcal{H}_0(l) = D(S_l^y)^2 + \bar{H}_z S_l^z + \bar{H}_x S_l^x, \quad (11)$$

а эффективные поля определяются выражениями

$$\begin{aligned} \bar{H}_z &= I_0 S (\cos \theta_F + \cos \theta_G) - h_L, \\ \bar{H}_x &= I_0 S (\sin \theta_F + \sin \theta_G), \quad I_0 = 3I. \end{aligned} \quad (12)$$

Линейное по бозе-операторам слагаемое гамильтониана (9) запишем в следующей форме:

$$\begin{aligned} \mathcal{H}^{(1)} &= \sum_{\{fl\}} I \sqrt{\frac{S}{2}} [\cos \theta_F S_l^x - \sin \theta_F S_l^z] (a_f + a_f^+) + \\ &+ \sum_f \sqrt{\frac{S}{2}} [J_0 S \sin(\theta_G - \theta_F) + h \sin \theta_F] (a_f + a_f^+) + \\ &+ \sum_{\{gl\}} I \sqrt{\frac{S}{2}} [\cos \theta_G S_l^x - \sin \theta_G S_l^z] (b_g + b_g^+) + \\ &+ \sum_g \sqrt{\frac{S}{2}} [J_0 S \sin(\theta_F - \theta_G) + h \sin \theta_G] (b_g + b_g^+) + \\ &+ \frac{I}{i} \sqrt{\frac{S}{2}} \left\{ \sum_{\{fl\}} S_l^y (a_f - a_f^+) + \sum_{\{gl\}} S_l^y (b_g - b_g^+) \right\}, \end{aligned} \quad (13)$$

где $J_0 = 3J$.

Последнее слагаемое в выражении (9) описывает возбуждения в F - и G -подсистемах и имеет вид

$$\begin{aligned} \mathcal{H}^{(2)} &= J \frac{S}{2} \sum_{\{f,g\}} \left\{ \left[(a_f + a_f^+) (b_g + b_g^+) - \right. \right. \\ &\quad \left. \left. - 2(a_f^+ a_f + b_g^+ b_g) \right] \cos(\theta_F - \theta_G) - \right. \\ &\quad \left. -(a_f - a_f^+) (b_g - b_g^+) \right\} - \\ &- I \sum_{\{f,l\}} (\cos \theta_F S_l^z + \sin \theta_F S_l^x) a_f^+ a_f^- - \\ &- I \sum_{\{g,l\}} (\cos \theta_G S_l^z + \sin \theta_G S_l^x) b_g^+ b_g^- + \\ &+ h \cos \theta_F \sum_f a_f^+ a_f^- + h \cos \theta_G \sum_g b_g^+ b_g^-. \end{aligned} \quad (14)$$

Далее, логика среднего поля диктует проведение замены в выражениях для $\mathcal{H}^{(1)}$ и $\mathcal{H}^{(2)}$ спиновых операторов L -подсистемы их средними значениями. В рассматриваемом режиме нулевых температур усреднение операторов S_l^α ($\alpha = x, y, z$) достаточно проводить по основному состоянию одноузельного гамильтониана (11).

5. ДИАГОНАЛИЗАЦИЯ ОДНОИОННОГО ГАМИЛЬТОНИАНА

Для диагонализации одноионного гамильтониана (11), как и в работе [31], воспользуемся подходом развитым в [40]. Переходим от спиновых операторов к операторам Хаббарда [37] $X_l^{m,n} = |m\rangle\langle n|$, где $m, n = \{-1, 0, +1\}$ — собственные значения операто-

ра S_l^z , а $|m\rangle$ и $|n\rangle$ — соответствующие собственные состояния: $S_l^z|n\rangle = n|n\rangle$. Подставляя выражения

$$\begin{aligned} S_l^x &= \frac{1}{\sqrt{2}} (X_l^{1,0} + X_l^{\bar{1},0} + X_l^{0,1} + X_l^{0,\bar{1}}), \\ S_l^y &= \frac{i}{\sqrt{2}} (-X_l^{1,0} + X_l^{\bar{1},0} + X_l^{0,1} - X_l^{0,\bar{1}}), \\ (S_l^y)^2 &= \frac{1}{2} (X_l^{1,\bar{1}} + X_l^{\bar{1},1} - X_l^{1,1} - X_l^{\bar{1},\bar{1}}) + X_l^{0,0}, \\ S_l^z &= X_l^{1,1} - X_l^{\bar{1},\bar{1}}, \quad \bar{1} \equiv -1, \end{aligned} \quad (15)$$

описывающие переход к представлению операторов Хаббарда, в одноионный гамильтониан (11) получаем

$$\begin{aligned} \mathcal{H}_0(l) &= \left(\frac{D}{2} + \bar{H}_z \right) X_l^{1,1} + D X_l^{0,0} + \\ &+ \left(\frac{D}{2} - \bar{H}_z \right) X_l^{\bar{1},\bar{1}} - \frac{D}{2} (X_l^{1,\bar{1}} + X_l^{\bar{1},1}) + \\ &+ \frac{\bar{H}_x}{\sqrt{2}} (X_l^{1,0} + X_l^{0,1} + X_l^{\bar{1},0} + X_l^{0,\bar{1}}). \end{aligned} \quad (16)$$

В отсутствие магнитного поля основное состояние системы вырождено относительно вращения вокруг оси y . Тогда, выбирая направление оси z вдоль вектора \mathbf{R}_L и учитывая справедливое в силу эквивалентности F - и G -подрешеток равенство $\theta_F = -\theta_G$, получаем, что величина \bar{H}_x обращается в нуль, а последнее слагаемое в выражении (16) исчезает. В этом случае гамильтониан $\mathcal{H}_0(l)$ перемешивает только два из трех состояния ($|+1\rangle$ и $| -1\rangle$) и для его диагонализации достаточно провести одно унитарное преобразование (см. [31]). Наличие магнитного поля приводит к тому, что перемешанными оказываются все три состояния $|n\rangle$ ($n = \{-1, 0, +1\}$), а для диагонализации одноионного гамильтониана необходимо проводить три последовательных преобразования.

Унитарный оператор $U_{nm}(\alpha, l)$ каждого преобразования определяется своим генератором $\Gamma_{nm}(l) = X_l^{nm} - X_l^{mn}$ из группы $SU(3)$, согласно выражению

$$\begin{aligned} U_{nm}(\alpha, l) &= \exp\{\alpha \Gamma_{nm}(l)\} = \\ &= 1 + (\cos \alpha - 1)(X_l^{nm} + X_l^{mn}) + \sin \alpha \Gamma_{nm}(l). \end{aligned} \quad (17)$$

Новые операторы Хаббарда $X_l^{\tilde{r}\tilde{s}} = |\tilde{r}, l\rangle\langle \tilde{s}, l|$, определенные посредством новых состояний

$$|\tilde{r}, l\rangle = U_{nm}(-\alpha, l)|r, l\rangle, \quad (18)$$

выражаются через исходные операторы Хаббарда следующим образом:

$$X_l^{\tilde{r}\tilde{s}} = U_{nm}(-\alpha, l) X_l^{rs} U_{nm}^+(-\alpha, l). \quad (19)$$

Тогда рассматриваемое унитарное преобразование сводится к простой замене в одноузельном гамильтониане:

$$X_l^{rs} \rightarrow U_{\tilde{n}\tilde{m}}(\alpha, l) X_l^{\tilde{r}\tilde{s}} U_{\tilde{n}\tilde{m}}^+(\alpha, l). \quad (20)$$

Явные выражения для правой части последней формулы в общем случае были получены в работе [40] и для полноты изложения приведены в Приложении А. Вариационный параметр α в формуле (17) подбирается из условия обращения в нуль численного коэффициента перед недиагональными операторами $X_l^{\tilde{n}\tilde{m}}$ и $X_l^{\tilde{m}\tilde{n}}$ в преобразованном с помощью подстановки (20) гамильтониане.

Проводя последовательно три унитарных преобразования с операторами $U_{1,0}(\alpha_2)$, $U_{0,-1}(\alpha_3)$ и $U_{1,-1}(\alpha_1)$ по правилу (20) и сохраняя в конечном выражении прежние обозначения для индексов новых состояний $n = \{-1, 0, +1\}$ (т. е. без тильды), получаем диагональную по операторам Хаббарда форму для одноионного гамильтониана $\mathcal{H}_0(l)$:

$$\mathcal{H}_0(l) = \sum_n \epsilon_n X_l^{nn}, \quad n = -1, 0, +1. \quad (21)$$

Собственные значения ϵ_n одноионного гамильтониана можно представить в виде ($\bar{1} = -1$)

$$\begin{aligned} \epsilon_1 &= e_{\bar{1},\bar{1}} \sin^2 \alpha_1 + e_{1,1} \cos^2 \alpha_1 + e_{1,\bar{1}} \sin 2\alpha_1, \\ \epsilon_{\bar{1}} &= e_{\bar{1},\bar{1}} \cos^2 \alpha_1 + e_{1,1} \sin^2 \alpha_1 - e_{1,\bar{1}} \sin 2\alpha_1, \\ \epsilon_0 &= e_{0,0}, \end{aligned} \quad (22)$$

где

$$\begin{aligned} e_{1,1} &= D \sin^2 \alpha_2 + \left(\frac{D}{2} + \bar{H}_z \right) \cos^2 \alpha_2 + \\ &+ \frac{\bar{H}_x}{\sqrt{2}} \sin 2\alpha_2, \\ e_{\bar{1},\bar{1}} &= D \cos^2 \alpha_2 \sin^2 \alpha_3 - \frac{D}{2} \sin \alpha_2 \sin 2\alpha_3 + \\ &+ \left(\frac{D}{2} + \bar{H}_z \right) \sin^2 \alpha_2 \sin^2 \alpha_3 + \\ &+ \left(\frac{D}{2} - \bar{H}_z \right) \cos^2 \alpha_3 - \\ &- \frac{\bar{H}_x}{\sqrt{2}} (\cos \alpha_2 \sin 2\alpha_3 + \sin 2\alpha_2 \sin^2 \alpha_3), \\ e_{0,0} &= D \cos^2 \alpha_2 \cos^2 \alpha_3 + \frac{D}{2} \sin \alpha_2 \sin 2\alpha_3 + \\ &+ \left(\frac{D}{2} + \bar{H}_z \right) \sin^2 \alpha_2 \cos^2 \alpha_3 + \left(\frac{D}{2} - \bar{H}_z \right) \sin^2 \alpha_3 + \\ &+ \frac{\bar{H}_x}{\sqrt{2}} (\cos \alpha_2 \sin 2\alpha_3 - \sin 2\alpha_2 \cos^2 \alpha_3), \end{aligned} \quad (23)$$

$$\begin{aligned} e_{1,\bar{1}} = & \left(\frac{\bar{H}_z}{2} - \frac{D}{4} \right) \sin(2\alpha_2) \sin \alpha_3 - \\ & - \frac{D}{2} \cos \alpha_2 \cos \alpha_3 + \\ & + \frac{\bar{H}_x}{\sqrt{2}} (-\cos 2\alpha_2 \sin \alpha_3 + \sin \alpha_2 \cos \alpha_3). \end{aligned}$$

Из требования обращения в нуль коэффициентов при недиагональных X -операторах в преобразованном гамильтониане получается следующая система уравнений для углов α_j ($j = 1, 2, 3$):

$$\begin{aligned} \operatorname{tg} \alpha_3 = & \frac{\left(\frac{D}{2} - \bar{H}_z\right) \sin 2\alpha_2 + \sqrt{2} \bar{H}_x \cos 2\alpha_2}{D \cos \alpha_2 - \sqrt{2} \bar{H}_x \sin \alpha_2}, \\ \operatorname{tg} 2\alpha_3 = & \frac{\sqrt{2} \bar{H}_x \cos \alpha_2 + D \sin \alpha_2}{2\bar{H}_z + \left(\frac{D}{2} - \bar{H}_z\right) \cos^2 \alpha_2 - \frac{\bar{H}_x}{\sqrt{2}} \sin 2\alpha_2}, \quad (24) \\ \operatorname{tg} 2\alpha_1 = & 2e_{1,\bar{1}} / (e_{1,1} - e_{\bar{1},\bar{1}}). \end{aligned}$$

Аналогичным образом применяя к представлению (15) последовательно три раза формулу (20) с операторами $U_{1,0}(\alpha_2)$, $U_{0,\bar{1}}(\alpha_3)$ и $U_{1,\bar{1}}(\alpha_1)$, можно выразить спиновые операторы S_l^x , S_l^y , S_l^z и $(S_l^y)^2$ через новые (преобразованные) X -операторы. Тогда коэффициенты разложения операторов спина S_l^α по новым операторам Хаббарда X_l^{nm} будут представлять матричные элементы спиновых операторов по новым состояниям: $s_{n,m}^\alpha \equiv \langle n | S_l^\alpha | m \rangle$ ($\alpha = x, y, z$). Явные выражения для этих матричных элементов приведены в Приложении В.

В рамках приближения среднего поля следует заменить в гамильтониане $\mathcal{H}^{(1)}$ спиновые операторы их средними значениями, т. е. диагональными матричными элементами $s_{n,n}^\alpha$, вычисленными по основному состоянию $|n\rangle$, отвечающему минимальному значению ϵ_n . Ниже мы будем выбирать набор решений уравнений (24) для углов α_j ($j = 1, 2, 3$) так, чтобы состояние $|+1\rangle$ было основным.

Поскольку $s_{nn}^y = 0$ для любого n (см. Приложение В), то последние две суммы в формуле (13) для $\mathcal{H}^{(1)}$ обращаются в нуль. Сокращение же остальных слагаемых в (13) имеет место при выполнении равенств

$$\begin{aligned} I_0(s_{1,1}^x \cos \theta_F - s_{1,1}^z \sin \theta_F) + \\ + J_0 S \sin(\theta_G - \theta_F) + h \sin \theta_F = 0, \quad (25) \\ I_0(s_{1,1}^x \cos \theta_G - s_{1,1}^z \sin \theta_G) + \\ + J_0 S \sin(\theta_F - \theta_G) + h \sin \theta_G = 0, \end{aligned}$$

используемых далее для определения равновесных значений углов θ_F и θ_G . Угол θ_L , введенный на рис. 2

для наглядности, параметром согласования не является и может быть определен через отношение средних значений проекций спиновых операторов S_l^z и S_l^x .

Магнитная структура основного состояния SU3F определяется решениями пяти уравнений (24) и (25) для углов α_j ($j = 1, 2, 3$), θ_F и θ_G с последующим выбором того набора решений, который отвечает минимальному значению среднеполевой энергии всей системы

$$E_{MF} = E_0 + N \epsilon_1, \quad (26)$$

где величины E_0 и ϵ_1 определены уравнениями (10) и (22) соответственно. В разд. 7 будут представлены фазовые h - D -диаграммы SU3F, рассчитанные на основе изложенной здесь методики.

6. БОЗОНИЗАЦИЯ L -ПОДСИСТЕМЫ И ДИСПЕРСИОННОЕ УРАВНЕНИЕ

В рамках выбранного приближения энергия основного состояния E_{MF} определяется без учета АФ. Поэтому вклады от последнего слагаемого в гамильтониане (9), квадратичные по бозе-операторам, в выражении (26) для E_{MF} отсутствуют. Тем не менее при расчете зависимостей параметров порядка от магнитного поля и ОА требуется энергетический спектр спин-волновых возбуждений, и для определения этого спектра оператор $\mathcal{H}^{(2)}$ уже необходимо учитывать.

Для вычисления энергетического спектра в спин-волновом приближении выразим сначала спиновые операторы через новые (преобразованные) X -операторы. Используя (15) и формулы из Приложения А, получим для S -операторов выражения вида

$$S_l^\alpha = \sum_{n,m} s_{nm}^\alpha X_l^{nm}, \quad \alpha = x, y, z, \quad (27)$$

где матричные элементы s_{nm}^α приведены в Приложении В.

Далее учитывая, что спектр состояний $\mathcal{H}_0(l)$ характеризуется тремя уровнями, а основным состоянием одноионного гамильтониана является состояние $|+1\rangle$, введем, следуя работам [11, 14], два сорта бозе-операторов: c и d . Рождение одного $c(d)$ -бозона на узле l описывается действием оператора рождения $c_l^+(d_l^+)$ и отвечает переходу системы из «вакуумного» состояния $|+1\rangle$ в состояние $|0\rangle(|-1\rangle)$ с одним $c(d)$ -бозоном. Эрмитово-сопряженный оператор $c_l(d_l)$, действуя в обратном направлении, уничтожает $c(d)$ -бозон. Состояния с большим числом

бозонов отсекаются метрическим оператором как нефизические.

Представление операторов Хаббарда через бозе-операторы, предложенное в работе [40] в рамках формализма индефинитной метрики [41], имеет вид

$$\begin{aligned} X_l^{1,0} &= (1 - c_l^+ c_l - d_l^+ d_l) c_l, \quad X_l^{0,1} = c_l^+, \\ X_l^{1,\bar{1}} &= (1 - c_l^+ c_l - d_l^+ d_l) d_l, \quad X_l^{\bar{1},1} = d_l^+, \\ X_l^{0,\bar{1}} &= c_l^+ d_l, \quad X_l^{\bar{1},0} = d_l^+ c_l, \quad X_l^{0,0} = c_l^+ c_l, \\ X_l^{\bar{1},\bar{1}} &= d_l^+ d_l, \quad X_l^{1,1} = (1 - c_l^+ c_l - d_l^+ d_l). \end{aligned} \quad (28)$$

Используем представление (28) в формулах (27) и подставим полученные выражения для S -операторов (см. Приложение C) в слагаемые $\mathcal{H}^{(1)}$ и $\mathcal{H}^{(2)}$ гамильтониана (9). В результате возникает выражение, в котором необходимо оставить только вклады не выше второго порядка по a , b , c и d -операторам. Проводя фурье-преобразование

$$\begin{aligned} a_f &= \frac{1}{\sqrt{N}} \sum_k e^{ikf} a_k, \quad b_g = \frac{1}{\sqrt{N}} \sum_k e^{ikg} b_k, \\ c_l &= \frac{1}{\sqrt{N}} \sum_k e^{ikl} c_k, \quad d_l = \frac{1}{\sqrt{N}} \sum_k e^{ikl} d_k, \end{aligned} \quad (29)$$

получаем искомый гамильтониан, который можно записать следующим образом:

$$\mathcal{H} = E_{MF} + \mathcal{H}_{SW}. \quad (30)$$

Здесь первое слагаемое E_{MF} отвечает энергии основного состояния в приближении среднего поля (см. формулу (26)), а второе слагаемое \mathcal{H}_{SW} описывает спин-волновые возбуждения и определяется выражением

$$\begin{aligned} \mathcal{H}_{SW} = \sum_k \{ &E_a a_k^+ a_k + E_b b_k^+ b_k + E_c c_k^+ c_k + E_d d_k^+ d_k + \\ &+ J_+ (\gamma_k a_k^+ b_k + \gamma_k^* b_k^+ a_k) \} + \\ &+ J_- (\gamma_k a_k^+ b_{-k}^+ + \gamma_k^* a_k b_{-k}) + \\ &+ I_{0F}^+ (\gamma_k c_k^+ a_k + \gamma_k^* a_k^+ c_k) + \\ &+ I_{0F}^- (\gamma_k c_k^+ a_{-k}^+ + \gamma_k^* c_k a_{-k}) + \\ &+ I_{1F}^+ (\gamma_k d_k^+ a_k + \gamma_k^* a_k^+ d_k) + \\ &+ I_{1F}^- (\gamma_k d_k^+ a_{-k}^+ + \gamma_k^* d_k a_{-k}) + \\ &+ I_{0G}^+ (\gamma_k^* c_k^+ b_k + \gamma_k b_k^+ c_k) + \\ &+ I_{0G}^- (\gamma_k^* c_k^+ b_{-k}^+ + \gamma_k c_k b_{-k}) + \\ &+ I_{1G}^+ (\gamma_k^* d_k^+ b_k + \gamma_k b_k^+ d_k) + \\ &+ I_{1G}^- (\gamma_k^* d_k^+ b_{-k}^+ + \gamma_k d_k b_{-k}). \end{aligned} \quad (31)$$

При записи этого выражения были введены следующие обозначения:

$$\begin{aligned} E_a &= -J_0 S \cos(\theta_F - \theta_G) + h \cos \theta_F - \\ &\quad - I_0 (s_{11}^z \cos \theta_F + s_{11}^x \sin \theta_F), \\ E_b &= -J_0 S \cos(\theta_G - \theta_F) + h \cos \theta_G - \\ &\quad - I_0 (s_{11}^z \cos \theta_G + s_{11}^x \sin \theta_G), \\ E_c &= \epsilon_0 - \epsilon_1, \quad E_d = \epsilon_1 - \epsilon_1, \\ J_\pm &= \frac{J_0 S}{2} (\cos(\theta_F - \theta_G) \pm 1), \\ I_{nA}^\pm &= I_0 \sqrt{\frac{S}{2}} \left(s_{n1}^x \cos \theta_A - s_{n1}^z \sin \theta_A \pm \frac{s_{n1}^y}{i} \right), \\ n &= \{0, \bar{1}\}, \quad A = \{F, G\}, \\ \gamma_k &= \frac{1}{3} \sum_\delta e^{ik\delta} = \frac{1}{3} \left(2 \cos \frac{k_z}{2} e^{i\frac{k_x}{2\sqrt{3}}} + e^{-i\frac{k_x}{\sqrt{3}}} \right). \end{aligned} \quad (32)$$

В сумме, определяющей инвариант треугольной решетки γ_k , вектор δ пробегает три значения: $\{\xi, -\zeta, \zeta - \xi\}$ (см. рис. 1). Зона Бриллюэна, ограничивающая область значений квазимпульса k , представлена на рис. 3.

Для получения дисперсионного уравнения определим матричную запаздывающую функцию Грина $\langle\langle \mathbf{X}_k | \mathbf{X}_k^+ \rangle\rangle_\omega$, где

$$\mathbf{X}_k^+ = (a_k^+, b_k^+, c_k^+, d_k^+, a_{-k}, b_{-k}, c_{-k}, d_{-k}).$$

Из требования существования нетривиальных решений уравнения движения для $\langle\langle \mathbf{X}_k | \mathbf{X}_k^+ \rangle\rangle_\omega$ следует уравнение для спектра

$$\begin{vmatrix} \omega - \mathbf{A}_k & -\mathbf{B}_k \\ \mathbf{B}_k & \omega + \mathbf{A}_k \end{vmatrix} = 0, \quad (33)$$

где

$$\mathbf{A}_k = \begin{pmatrix} E_a & J_+ \gamma_k & I_{0F}^+ \gamma_k^* & I_{1F}^+ \gamma_k^* \\ J_+ \gamma_k^* & E_b & I_{0G}^+ \gamma_k & I_{1G}^+ \gamma_k \\ I_{0F}^+ \gamma_k & I_{0G}^+ \gamma_k^* & E_c & 0 \\ I_{1F}^+ \gamma_k & I_{1G}^+ \gamma_k^* & 0 & E_d \end{pmatrix} \quad (34)$$

и

$$\mathbf{B}_k = \begin{pmatrix} 0 & J_- \gamma_k & I_{0F}^- \gamma_k^* & I_{1F}^- \gamma_k^* \\ J_- \gamma_k^* & 0 & I_{0G}^- \gamma_k & I_{1G}^- \gamma_k \\ I_{0F}^- \gamma_k & I_{0G}^- \gamma_k^* & 0 & 0 \\ I_{1F}^- \gamma_k & I_{1G}^- \gamma_k^* & 0 & 0 \end{pmatrix}. \quad (35)$$

Дисперсионное уравнение (33) является уравнением четвертой степени относительно ω^2 , а его решения ε_{jk} ($j = 1, \dots, 4$) представляют четыре ветви коллективных спиновых возбуждений рассматриваемого SU3F.

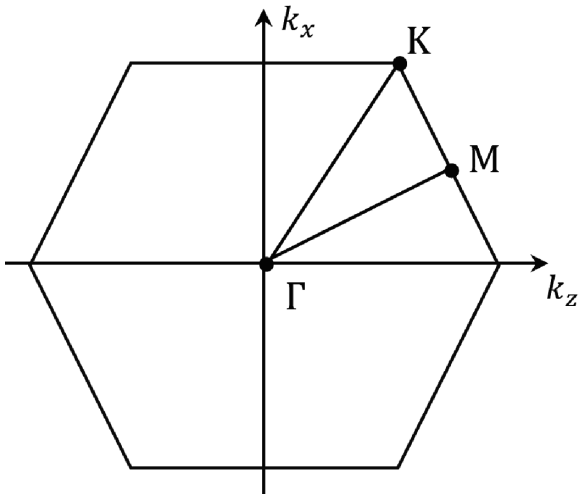


Рис. 3. Зона Бриллюэна треугольной решетки и три точки высокой симметрии: Γ , K , M

7. ФАЗОВАЯ ДИАГРАММА SU3F ПРИ $I < J$

Обсуждение фазовой диаграммы SU3F в координатах магнитное поле — параметр ОА проведем отдельно для трех вариантов соотношений между обменными параметрами: $I < J$, $I > J$, $I = J$. В данном разделе мы рассмотрим первый вариант: $I < J$.

На рис. 4 изображена фазовая диаграмма основного состояния SU3F, рассчитанная согласно методике, изложенной в разд. 5, при соотношении обменных параметров $I/J = 0.8$. Видно, что в рассматриваемом режиме реализуются три фазы: перевернутая Y -фаза (обозначаемая далее как \bar{Y}), W -фаза и ферромагнитная фаза.

В \bar{Y} -фазе вектор среднего значения спина L -подрешетки \mathbf{R}_L направлен вдоль направления магнитного поля (оси z), а векторы средних значений спинов F - и G -подрешеток \mathbf{R}_F и \mathbf{R}_G составляют с осью z одинаковые по модулю, но противоположные по знаку углы: $\theta_F = -\theta_G$. При этом модуль углов θ_F и θ_G изменяется в интервале $[\pi/2, \pi]$. В симметричной W -фазе углы θ_F и θ_G также равны по модулю и противоположны по знаку, однако, в отличие от \bar{Y} -фазы, интервал изменения модулей этих углов другой: $[0, \pi/2]$. В этом случае проекции всех трех векторов \mathbf{R}_F , \mathbf{R}_G и \mathbf{R}_L на ось x положительны. Граница раздела \bar{Y} - и W -фаз на рис. 4 обозначена штриховой линией. Справа от красной линии на фазовой диаграмме реализуется ферромагнитная фаза: векторы средних значений спинов из L -, F - и G -подрешеток направлены вдоль магнитного поля.

Эволюция магнитной структуры при $I < J$ характеризуется монотонным уменьшением абсолют-

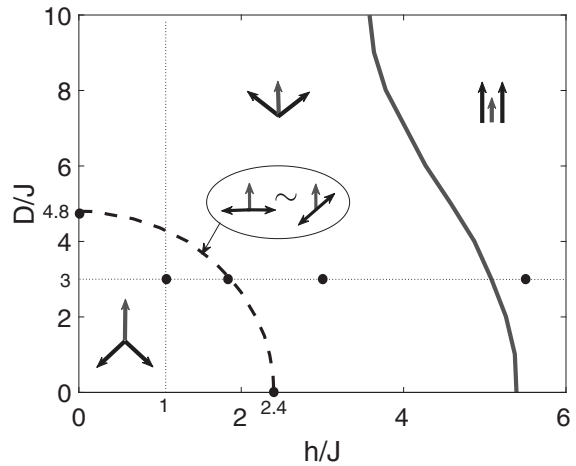


Рис. 4. Фазовая h - D -диаграмма основного состояния SU3F при $I/J = 0.8$. Чёрная штриховая линия отвечает границе между \bar{Y} - и W -фазами, а сплошная красная — между W -фазой и ферромагнитной. На пиктограммах, условно изображающих магнитную структуру SU3F, красная стрелка символизирует вектор \mathbf{R}_L , синие стрелки — $\mathbf{R}_{F(G)}$, а магнитное поле h считается направленным вверх. На штриховой линии реализуется фаза, в которой подсистемы со спинами $S = 1$ и $1/2$ становятся эффективно независимыми

ных значений углов θ_F и θ_G с увеличением H и обращением их в нуль при некотором значении поля, зависящем от параметра ОА (см. красную линию на рис. 4). Сказанное поясняется тремя пиктограммами, условно изображающими магнитную структуру в каждой из трех областей фазовой диаграммы.

Для понимания представленной фазовой диаграммы рассчитаем зависимости параметров порядка SU3F от магнитного поля при фиксированном значении параметра ОА и от параметра ОА при фиксированном h .

Средние значения спинов R_F и R_G в F - и G -подрешетках можно рассчитать, воспользовавшись представлением Гольштейна–Примакова (8), согласно которому

$$\begin{aligned} R_F &= \langle S_f^{z'} \rangle = S - n_a, \\ R_G &= \langle S_g^{z''} \rangle = S - n_b, \end{aligned} \quad (36)$$

где числа заполнения бозонов $n_a = \langle a_f^\dagger a_f \rangle$ и $n_b = \langle b_g^\dagger b_g \rangle$ вычисляются по спектральной теореме из матричной функции Грина $\langle \langle \mathbf{X}_k | \mathbf{X}_k^+ \rangle \rangle_\omega$, введенной в разд. 6.

Средний спиновый магнитный момент L -подрешетки R_L можно найти по формуле

$$R_L = \sqrt{(R_L^z)^2 + (R_L^x)^2}, \quad (37)$$

где величины R_L^z и R_L^x определяются средними числами заполнения c - и d -бозонов: $n_c = \langle c_k^+ c_k \rangle$ и $n_d = \langle d_k^+ d_k \rangle$, а также корреляторами $\langle c_k^+ d_k \rangle$ и $\langle d_k^+ c_k \rangle$. Соответствующие выражения получаются в результате усреднения формул, приведенных в Приложении С. Поскольку суммарный магнитный момент $\mathbf{M} = \mathbf{R}_F + \mathbf{R}_G + \mathbf{R}_L$ направлен вдоль внешнего магнитного поля (т. е. оси z), то его поперечная компонента должна обращаться в нуль тождественно

$$R_L^x + R_F \sin \theta_F + R_G \sin \theta_G = 0,$$

а продольная компонента равна

$$M = R_L^z + R_F \cos \theta_F + R_G \cos \theta_G. \quad (38)$$

Среднее значение квадрупольного момента [42]

$$Q_2^0(l) = 3(S_l^y)^2 - 2 \quad (39)$$

рассчитывается аналогичным образом после усреднения соответствующих формул из Приложения С.

Графики, демонстрирующие зависимость полного момента M , средних значений спиновых магнитных моментов R_L , $R_{F(G)}$ и квадрупольного момента Q_2^0 от внешнего поля h при значении параметра ОА $D/J = 3$ и соотношении между обменными интегралами I/J , равном 0.8, представлены на рис. 5. Изменению магнитного поля на этом рисунке отвечает движение по горизонтальной пунктирной линии на фазовой диаграмме рис. 4. Видно, что в точке перехода из W -фазы в ферромагнитную все кривые на рис. 5 испытывают излом. При этом значения M и R_L ожидаются увеличивающимися при увеличении поля h , а квадрупольный момент — уменьшающимися.

Зависимости параметров порядка M , R_L , R_F , R_G и Q_2^0 от параметра D при значении магнитного поля $h/J = 1$ представлены на рис. 6. Изменению параметра D на этом рисунке отвечает движение по вертикальной пунктирной линии на фазовой диаграмме рис. 4. Видно, что при пересечении границы \bar{Y} - и W -фаз зависимости параметров $R_{F(G)}$ от D испытывают излом, а квадрупольный момент выходит на насыщение. Среднее значение момента L -подрешетки быстро уменьшается в окрестности границы, но при дальнейшем увеличении D спадает медленно. Очевидно, что именно уменьшение R_L способствует развороту вверх векторов $\mathbf{R}_{F(G)}$, поскольку уменьшает проигрыш в обменной энергии между спинами $S = 1$ и $S = 1/2$.

Важной особенностью фазовой диаграммы, представленной на рис. 4, является то, что на всей

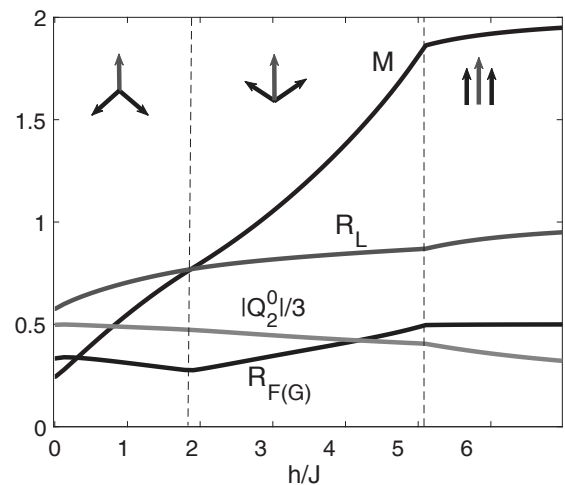


Рис. 5. Зависимость величин R_L (красная линия), $R_{F(G)}$ (синяя линия), M (чёрная линия) и $|Q_2^0|/3$ (зелёная линия) от магнитного поля h . Соотношение между обменными интегралами $I/J = 0.8$, а $D/J = 3$. Три пиктограммы, составленные из одной красной и двух синих стрелок, имеют тот же смысл, что и на рис. 4

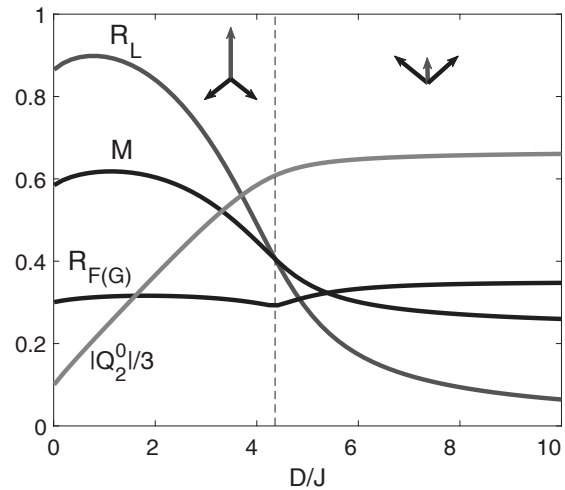


Рис. 6. Зависимости величин R_L (красная линия), $R_{F(G)}$ (синяя линия), M (чёрная линия) и $|Q_2^0|/3$ (зелёная линия) от параметра ОА D . Соотношение между обменными интегралами $I/J = 0.8$, а $h/J = 1$

границе между \bar{Y} - и W -фазами (чёрная штриховая линия) угол между векторами \mathbf{R}_F и \mathbf{R}_G равен π . В этом случае из выражений (12) для эффективных полей находим

$$\bar{H}_z = -h_L, \quad \bar{H}_x = 0. \quad (40)$$

При учете этих соотношений и при условии $h_L \neq 0$ решения уравнений (24) для углов α_j ($j = 1, 2, 3$) получаются в виде

$$\operatorname{tg} 2\alpha_1 = \frac{D}{2h_L}(-1)^{n+m}, \quad \alpha_2 = \pi n, \quad \alpha_3 = \pi m, \quad (41)$$

где n и m — целые числа. Подстановка этих решений в выражения для матричных элементов спиновых операторов из приложения В дает

$$s_{11}^z = \cos 2\alpha_1, \quad s_{11}^x = 0. \quad (42)$$

Поскольку $s_{11}^x = 0$ и $\theta_F - \theta_G = \pi$, то из уравнений (25) для углов θ_F и θ_G находим условие

$$s_{11}^z = h/I_0, \quad (43)$$

которому должен удовлетворять элемент s_{11}^z на границе раздела \bar{Y} - и W -фаз. Уравнение, описывающее границу этих фаз, нетрудно получить из условия совместности трех уравнений для угла α_1 и матричный элемент s_{11}^z в формулах (41), (42) и (43). В результате получается следующая связь между параметрами модели и магнитным полем:

$$D = \frac{2g_L}{g}\sqrt{I_0^2 - h^2}. \quad (44)$$

Это выражение описывает аналитически штриховую линию на рис. 4.

Важно отметить, что в точках фазовой диаграммы, лежащих на этой штриховой линии, ориентация (антипараллельных) векторов \mathbf{R}_F и \mathbf{R}_G относительно оси z не фиксирована. Последнее обстоятельство означает вырождение основного состояния SU3F относительно одновременного вращения спинов из F - и G -подрешеток вокруг оси y при условии, что векторы \mathbf{R}_F и \mathbf{R}_G остаются антипараллельными.

Действительно, подставляя решения (41) для углов α_j ($j = 1, 2, 3$) в формулы (22) и (23), а также фиксируя в выражении (10) разницу в π между углами θ_F и θ_G , получаем

$$\epsilon_1 = D/2 - \sqrt{h_L^2 + (D/2)^2}, \quad E_0 = -J_0 S^2 N.$$

Следовательно, в точках фазовой диаграммы, лежащих строго на границе \bar{Y} - и W -фаз (т. е. на штриховой линии на рис. 4), энергия основного состояния $E_{MF} = E_0 + N\epsilon_1$ (см. (26)) не зависит от углов θ_F и θ_G .

Физическая причина такого поведения обусловлена тем, что при $\theta_F - \theta_G = \pi$ два эффективных поля, действующих на спины из L -подрешетки со стороны F - и G -подсистем, компенсируют друг друга

(см. формулу (12)). В результате L -подрешетка перестает «чувствовать» как F -, так и G -подсистемы. При этом внешнее магнитное поле h_L продолжает действовать на L -подсистему, ориентируя вектор \mathbf{R}_L вдоль направления \mathbf{h}_L .

Одновременно с этим F - и G -подрешетки перестают «чувствовать» L -подсистему, поскольку создаваемые ею эффективные поля в F - и G -подрешетках полностью компенсируются внешним магнитным полем h . Действительно, как следует, например, из выражения (7), величины E_a и E_b (см. обозначения (32)) являются теми самыми эффективными полями, которые действуют на спины соответственно из F - и G -подрешеток. Поскольку в точках, лежащих на штриховой линии фазовой диаграммы рис. 4, выполняются соотношения (42) и (43), то указанные выше вклады в эффективные поля E_a и E_b от L -подсистемы ($-I_0 s_{11}^z \cos \theta_{F(G)}$) и от внешнего магнитного поля ($h \cos \theta_{F(G)}$) взаимно сокращаются.

Таким образом, в точках, принадлежащих пунктирной линии на фазовой диаграмме на рис. 4, SU3F распадается на две эффективно невзаимодействующие подсистемы, одна из которых образована из спинов $S = 1$ (L -подрешетка), а вторая — из спинов $S = 1/2$ (F - и G -подрешетки). При этом спины с $S = 1$ ведут себя как парамагнетик во внешнем магнитном поле, поскольку они продолжают испытывать действие поля h_L , а взаимодействие между ними отсутствует. Спины $S = 1/2$ ведут себя как двухподрешеточный (F и G) коллинеарный антиферромагнетик в эффективном нулевом магнитном поле. Последнее обстоятельство, допускающее произвольную ориентацию вектора антиферромагнетизма в плоскости zx , обуславливает дополнительное вырождение основного состояния.

8. ФАЗОВАЯ ДИАГРАММА SU3F ПРИ $I/J > 1$

При $I > J$ фазовая диаграмма SU3F в магнитном поле качественно меняется. На рис. 7 представлена фазовая диаграмма, рассчитанная при соотношении обменных параметров $I/J = 1.2$. Видно, что в этом случае реализуются четыре магнитные фазы: Y -фаза, коллинеарная ферримагнитная фаза, $V(\bar{V})$ -фаза, ферромагнитная фаза.

В Y -фазе вектор \mathbf{R}_L среднего значения спина в L -подрешетке (красная стрелка на пиктограммах рис. 7) направлен против магнитного поля (оси z), а векторы \mathbf{R}_F и \mathbf{R}_G среднего спина в F -

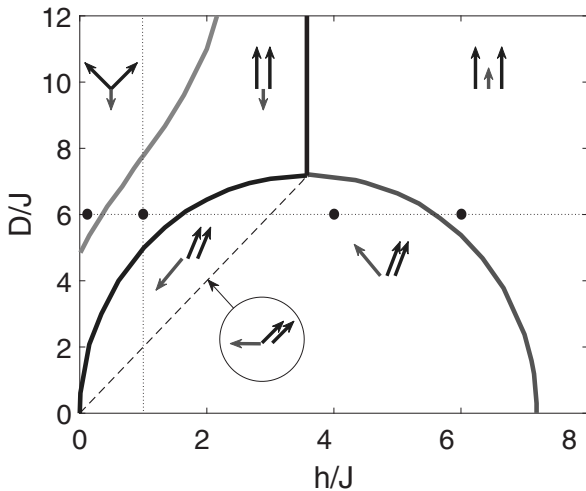


Рис. 7. Фазовая диаграмма основного состояния SU3F при $I/J = 1.2$. Зеленая линия обозначает границу раздела между Y -фазой и коллинеарной ферримагнитной фазой, синяя линия — между коллинеарной ферримагнитной и \bar{V} -фазой, черная линия — между ферромагнитной и коллинеарной ферримагнитной фазами, красная линия — между ферромагнитной и V -фазами, штриховая линия — между \bar{V} - и V -фазами (на этой линии $\theta_L = -\pi/2$)

и G -подрешетках (синие стрелки) составляют одинаковые по модулю, но противоположные по знаку углы с осью z : $\theta_F = -\theta_G$. При этом $|Q_{F(G)}| \in [0, \pi/2]$.

При переходе из Y -фазы в коллинеарную ферримагнитную углы θ_F и θ_G одновременно обращаются в нуль и все три вектора \mathbf{R}_F , \mathbf{R}_G и \mathbf{R}_L оказываются коллинеарны: первые два направлены по полю, а третий — против.

В области под синей и красной кривыми на рис. 7 реализуется так называемая V -фаза, в которой вектор \mathbf{R}_L составляет с осью z ненулевой угол θ_L , а векторы \mathbf{R}_F и \mathbf{R}_G — равные друг другу углы θ_F и θ_G . Последние принимают значения в интервале $(0, \pi/2)$. Данную область можно разделить прямой линией (штриховой на рис. 7) на две подобласти. Справа от этой линии угол $|\theta_L| < \pi/2$, а слева угол $|\theta_L| > \pi/2$. За первой областью оставим обозначение V -фаза, а вторую, чтобы отличать от первой, обозначим \bar{V} -фазой. Во всех точках штриховой линии угол θ_L строго равен $\pi/2$.

В ферромагнитной фазе все три вектора \mathbf{R}_F , \mathbf{R}_G и \mathbf{R}_L ориентированы вдоль магнитного поля.

Как и в предыдущем разделе, для понимания магнитной структуры рассмотрим изменения параметров порядка при движении по двум направлениям на фазовой диаграмме: вдоль горизонталь-

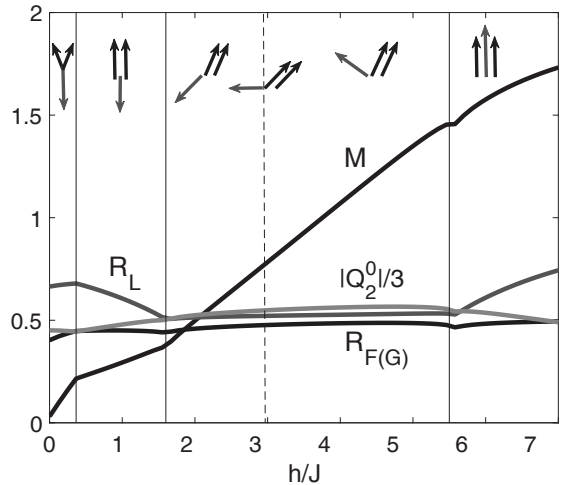


Рис. 8. Зависимости величин R_L (красная линия), $R_{F(G)}$ (синяя линия), M (черная линия) и $|Q_2^0|$ (зеленая линия) от напряженности внешнего магнитного поля h при $I/J = 1.2$ и $D/J = 6$

ной пунктирной линии при фиксированном значении $D/J = 6$ и вдоль вертикальной пунктирной линии при значении поля $h/J = 1$ (см. рис. 7).

На рис. 8 представлены зависимости величин R_L , $R_{F(G)}$, M и $|Q_2^0|$ от внешнего магнитного поля h при $D/J = 6$. Это отвечает движению по горизонтальной пунктирной линии на рис. 7. Видно, что изменения $R_{F(G)}$ и $|Q_2^0|$ при увеличении поля h на указанном интервале незначительны, причем сокращение среднего значения спина $R_{F(G)}$ из-за АФ невелико. Средний момент L -подрешетки, напротив, подавлен существенно как за счет АФ, так и ОА. В ферримагнитной фазе вектор \mathbf{R}_L направлен против поля, и величина R_L ожидаемо уменьшается с увеличением h . В ферромагнитной фазе вектор \mathbf{R}_L направлен по полю, и величина R_L — увеличивается.

Важный факт, который демонстрируют графики на рис. 8, состоит в том, что эволюция магнитной структуры происходит в той же последовательности, что и для антиферромагнетика на треугольной решетке (АФМТР) с $S = 1/2$, но без ОА [38, 43]. При этом если в АФМТР существование протяженной ферримагнитной (или *uid*) фазы может быть описано только при учете квантовых флуктуаций (снимающих случайное вырождение), то в SU3F эта фаза возникает исключительно за счет ОА. Кроме того, поведение полного момента M качественно воспроизводит основные этапы эволюции M в АФМТР: монотонное возрастание M в Y -, \bar{V} - и V -фазах; полу-

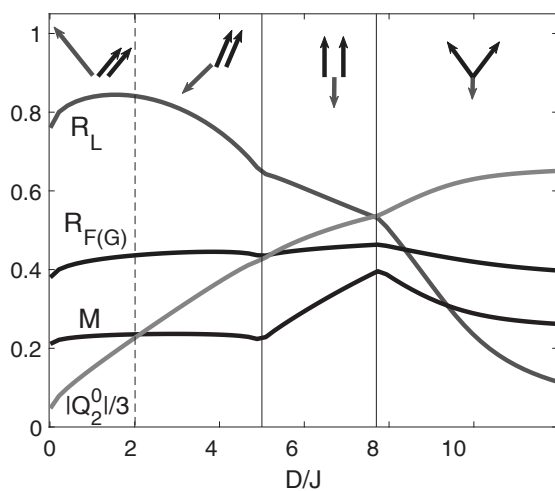


Рис. 9. Зависимости величин R_L (красная линия), $R_{F(G)}$ (синяя линия), M (черная линия) и $|Q_2^0|$ (зеленая линия) от параметра D для $I/J = 1.2$ и при $h/J = 1$

гий участок в ферримагнитной (uid) фазе (то, что в АФМТР принято называть 1/3-плато намагниченности); и область насыщения M в ферромагнитной фазе которое, однако, вследствие учета ОА слабо выражено.

Отметим также, что при увеличении параметра ОА интервал существования \bar{V} - и V -фаз на рис. 8 сжимается и, как следует из фазовой диаграммы на рис. 7, при $D/J \gtrsim 7$ этот интервал схлопывается в точку.

На рис. 9 представлена зависимость величин R_L , $R_{F(G)}$, M и $|Q_2^0|$ от параметра анизотропии D при $I/J = 1.2$ и величине магнитного поля $h/J = 1$. Эти зависимости строятся при движении вдоль вертикальной пунктирной линии на рис. 7. Видно, что квадрупольный момент при увеличении h ожидаемо возрастает, в то время как спиновый момент R_L из L -подрешетки после небольшого увеличения в области малых полей далее монотонно уменьшается. Спиновые моменты $R_{F(G)}$ из F - и G -подрешеток не меняют существенно своих значений на всем интервале изменения D . Поэтому заметное увеличение полного момента M в ферримагнитной фазе связано не с изменением ориентации моментов или абсолютных значений $R_{F(G)}$, а именно с уменьшением величины R_L за счет ОА. При переходе в Y -фазу полный момент M начинает уменьшаться, поскольку поворот векторов \mathbf{R}_F и \mathbf{R}_G вокруг оси y уменьшает их проекцию на ось z .

Три вертикальные линии на рис. 9 разделяют четыре описанные выше фазы. При переходе из V -фазы в ферримагнитную и из ферримагнитной в Y -фазу все зависимости параметров порядка испытывают излом. В то же время переход из V -фазы в \bar{V} -фазу не сопровождается никакими аномалиями в представленных зависимостях.

9. ВЫРОЖДЕНИЕ ОСНОВНОГО СОСТОЯНИЯ ПРИ $I = J$

Случай $I = J$ является особым, поскольку классический аналог гамильтониана $SU3F$, как мы сейчас покажем, имеет непрерывное случайное вырождение.

Действительно, определим зависящий от параметра λ гамильтониан:

$$\mathcal{H}_\lambda = J \sum_{\{fg\}} \mathbf{S}_f \mathbf{S}_g + \lambda J \sum_{\{fl\}} \mathbf{S}_f \mathbf{S}_l + \lambda J \sum_{\{gl\}} \mathbf{S}_g \mathbf{S}_l + D \sum_l (S_l^y)^2 - \mathbf{h} \left(\sum_f \mathbf{S}_f + \sum_g \mathbf{S}_g + \lambda \sum_l \mathbf{S}_l \right), \quad (45)$$

где направление магнитного поля $\mathbf{h} = g\mu_B \mathbf{H}$ в общем случае произвольно. Все обозначения в формуле (45) такие же, как и в гамильтониане (1). Видно, что если для λ удовлетворяются сразу два условия: $\lambda = I/J = g_L/g$ и поле \mathbf{h} направлено вдоль оси z , то гамильтониан (45) совпадает с оператором \mathcal{H} , определенным формулой (1).

С другой стороны, нетрудно проверить, что гамильтониан (45) с точностью до константы

$$-JN \left(\frac{3}{2} \lambda^2 S_L (S_L + 1) + \frac{9}{4} + \frac{h^2}{6J^2} \right), \quad S_L = 1, \quad (46)$$

может быть представлен в виде

$$\mathcal{H}_\lambda = D \sum_l (S_l^y)^2 + \frac{J}{4} \sum_p \left(\mathbf{S}_{pF} + \mathbf{S}_{pG} + \lambda \mathbf{S}_{pL} - \frac{\mathbf{h}}{3J} \right)^2, \quad (47)$$

где сумма по p обозначает суммирование по треугольным плакетам, а нижние индексы F , G и L у спиновых операторов указывают на их принадлежность к соответствующей подрешетке в p -ом плакете.

Таким образом, если для параметров $SU3F$ выполняется соотношение

$$\frac{I}{J} = \frac{g_L}{g}, \quad (48)$$

то гамильтониан SU3F в выражении (1) может быть представлен в виде (47) с \mathbf{h} , направленным вдоль оси z .

Если теперь вместо операторов спина в (47) рассмотреть классические моменты, т. е. обычные векторы фиксированной длины, то, как нетрудно заметить, минимальное значение гамильтониана (47) будет достигаться при равенстве нулю обоих его слагаемых. Обращение в нуль первого слагаемого означает, что спины L -подрешетки лежат в плоскости легкого намагничивания zx . Требование обращения в нуль второго слагаемого в (47) сводится к уравнению

$$\mathbf{S}_{pF} + \mathbf{S}_{pG} + \lambda \mathbf{S}_{pL} - \frac{\mathbf{h}}{3J} = 0. \quad (49)$$

Очевидно, что в определенном интервале значений магнитных полей h это уравнение может быть удовлетворено бесконечным множеством решений, т. е. ориентаций трех векторов \mathbf{R}_L , \mathbf{R}_F и \mathbf{R}_G , даже в том случае, когда поле \mathbf{h} не лежит в плоскости zx . Кроме того, если направление магнитного поля параллельно плоскости zx (как в рассматриваемом нами случае), то ориентация векторов \mathbf{R}_L , \mathbf{R}_F и \mathbf{R}_G , реализующая минимум гамильтониана (47), может и не быть компланарна с плоскостью zx .

Проведенный анализ классического предела гамильтониана (47) позволяет предположить, что отмеченное (непрерывное) вырождение основного состояния SU3F будет иметь место и в квантовом случае при выполнении соотношения (48). Выполненные нами расчеты в приближении среднего поля при $I = J$ и $g_L = g$ показали, что это действительно так.

Аналогичное рассмотренному вырождение имеет место и в других квантовых магнетиках, например, в АФМТР с $S = 1/2$ [43]. Как было впервые показано в работе [38], указанное вырождение может быть снято при учете нулевых квантовых колебаний. Такой подход требует учета более высоких порядков (по сравнению с гармоническим приближением, использованным в данной работе) при бозонизации спиновых операторов в рамках представления Гольштейна – Примакова для F - и G -подсистем и в формализме индефинитной метрики для L -подсистемы.

По этой причине построение фазовой диаграммы SU3F при критических параметрах, удовлетворяющих соотношению (48), будет проведено авторами в рамках отдельного исследования.

10. СПИН-ВОЛНОВЫЕ ВОЗБУЖДЕНИЯ В SU3F В МАГНИТНОМ ПОЛЕ

Спектральные свойства SU3F в нулевом магнитном поле были подробно исследованы в работе авторов [31]. В данном разделе мы проведем анализ изменений спектра в ненулевом магнитном поле при фиксированном значении параметра ОА. Четыре дисперсионные кривые ε_{jk} ($j = 1, \dots, 4$) рассчитывались для каждого набора параметров модели на основе уравнения (33), полученного в разд. 6.

На рис. 10 представлены результаты численных расчетов дисперсионных кривых для четырех значений магнитного поля при параметрах модели $I/J = 0.8$ и $D/J = 3$. На фазовой диаграмме на рис. 4 указанным четырем значениям поля h отвечают четыре черные точки, лежащие на горизонтальной пунктирной прямой. Видно, что при $h/J = 1$ реализуется \bar{Y} -фаза; при $h/J = 1.87$ – антипараллельная фаза для F - и G -подрешеток; при $h/J = 3$ – W -фаза; и при $h/J = 5.5$ – ферромагнитная фаза. На каждом из четырех графиков рис. 10 имеются четыре дисперсионные кривые в соответствии с четырьмя типами введенных бозонов. Но только в отношении одной кривой (черной на всех графиках) можно утверждать, что ее природа почти полностью определяется высокогенеретическими d -бозонами; остальные три ветви в той или иной степени формируются с учетом гибридизации состояний a -, b - и c -бозонов.

Важное наблюдение состоит в том, что на трех первых графиках, a , b и c , имеется как минимум одна голдстоуновская мода (синие кривые), связанная с нарушением симметрии основного состояния относительно вращения спинов F - и G -подрешеток на один и тот же угол относительно направления магнитного поля. В ферромагнитной фазе (рис. 10 d) основное состояние не нарушает указанную симметрию и соответственно голдстоуновская (безщелевая) мода отсутствует.

Кроме того, на рис. 10 b голдстоуновских мод две (совпадающие синяя и красная кривые). Происхождение второй моды связано с обсуждавшейся в конце разд. 7 особенностью точек фазовой диаграммы, лежащих на штриховой кривой (см. рис. 4). В этом случае моменты \mathbf{R}_F и \mathbf{R}_G лежат в плоскости zx вдоль одной линии и противоположно направлены, а энергия системы оказывается вырождена относительно вращения линии векторов \mathbf{R}_F и \mathbf{R}_G вокруг оси y .

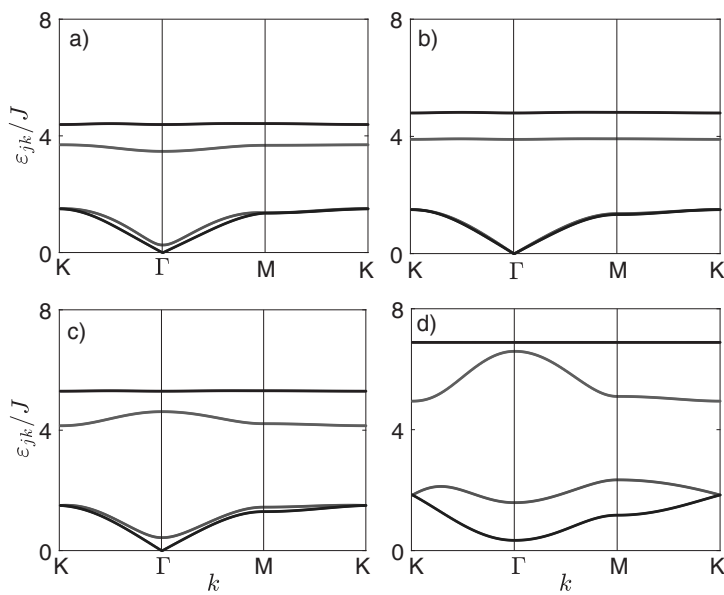


Рис. 10. Спектры спин-волновых возбуждений при $I/J = 0.8$, $D/J = 3$ и при четырех значениях напряженности внешнего магнитного поля: $h/J = 1$ (a), 1.87 (b), 3 (c), 5.5 (d). Вектор k пробегает по треугольнику ΓKM в зоне Бриллюэна (см. рис. 3)

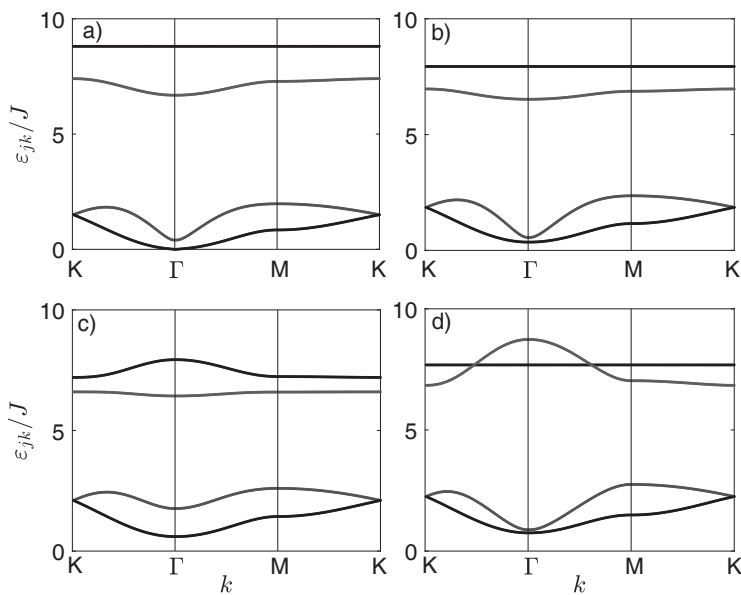


Рис. 11. Спектры спин-волновых возбуждений при $I/J = 1.2$, $D/J = 6$ и при четырех значениях напряженности внешнего магнитного поля: $h/J = 0.3$ (a), 1 (b), 4 (c), 6 (d). Вектор k пробегает по треугольнику ΓKM в зоне Бриллюэна (см. рис. 3)

Как отмечалось в разд. 7, такое поведение связано с обращением эффективных полей в нуль и фактической независимостью L -подсистемы от F - и G -подсистем. В такой ситуации узлы L -подрешетки оказываются эффективно изолированными (в том числе друг от друга), чем, в частности, и объясняется бездисперсность двух высокоэнергетических ветвей (черной и коричневой) на рис. 10 *b*.

На рис. 11 представлены графики дисперсионных зависимостей ε_{jk} , рассчитанные при следующих параметрах модели: $I/J = 1.2$, $D/J = 6$ для четырех значений внешнего магнитного поля: $h/J = 0.3, 1, 4$ и 6 . На фазовой диаграмме на рис. 7 указанным четырем значениям поля h отвечают четыре черные точки, лежащие на горизонтальной пунктирной прямой. При увеличении магнитного поля h в указанных точках фазовой диаграммы последовательно реализуются четыре фазы: \bar{Y} -фаза при $h/J = 0.3$; ферримагнитная — при $h/J = 1$; V -фаза при $h/J = 4.3$; ферромагнитная — при $h/J = 6$.

Из графиков, представленных на рис. 11 следует, что голдстоуновская мода реализуется только в первом случае (рис. 11 *a*), поскольку нарушение симметрии основного состояния (относительно вращений вокруг оси z) имеет место только в \bar{Y} -фазе. Во всех других областях фазовой диаграммы на рис. 7 спектр возбуждения спиновых волн всегда щелевой.

11. ЗАКЛЮЧЕНИЕ

Главным итогом проведенного исследования является построение фазовой диаграммы $SU(3)$ -ферримагнетика на треугольной решетке в координатах магнитное поле h (лежащее в плоскости легкого намагничивания) — параметр одноионной анизотропии D при нулевой температуре. Среди характерных особенностей модели рассмотренного $SU3F$ выделим следующие три: 1) разная величина спина в магнитных подрешетках — в двух подрешетках (F и G) спины $S = 1/2$, в третьей L -подрешетке $S = 1$; 2) наличие одноионной анизотропии типа легкая плоскость на узлах L -подрешетки со спинами $S = 1$; 3) разные значения обменных интегралов между спинами из F - и G -подрешеток (J) и между спинами из L - и $F(G)$ -подрешеток (I).

Результаты численных расчетов в приближении среднего поля показали, что в зависимости от соотношения между обменными интегралами I и J имеются два типа фазовой диаграммы $SU3F$, качествен-

но различающихся как по количеству реализующихся фаз, так и по типу их магнитной структуры.

При $I < J$ основное состояние $SU3F$ в разных областях фазовой диаграммы может быть охарактеризовано тремя магнитными конфигурациями: \bar{Y} , W и ферромагнитной (см. рис. 4). При этом в точках, лежащих на границе между \bar{Y} - и W -фазами (штриховая линия на рис. 4), реализуются состояния, в которых $SU3F$ можно представить в виде двух не связанных между собой магнитных подсистем. Одна из этих подсистем состоит из спинов $S = 1$ на треугольной решетке и ведет себя как парамагнетик. Вторая подсистема состоит из спинов $S = 1/2$, образующих плоскую гексагональную решетку и находящихся в фазе двухподрешеточного коллинеарного антиферромагнетика в эффективном нулевом магнитном поле. Последнее обстоятельство приводит к дополнительному вырождению основного состояния относительно вращения вектора антиферромагнетизма в плоскости легкого намагничивания и проявляется в виде дополнительной голдстоуновской моды в спектре спин-волновых возбуждений.

При обратном соотношении между обменными интегралами ($I > J$) фазовая h - D -диаграмма $SU3F$ качественно модифицируется. Теперь на ней можно выделить уже четыре области, различающиеся типом магнитной структуры основного состояния, а именно: Y -фазу, две коллинеарные ферри- и ферромагнитные фазы и V -фазу. При этом последнюю можно разделить еще на две фазы \bar{V} и V в зависимости от того, превышает угол θ_L величину $\pi/2$ или нет.

Для случаев $I < J$ и $I > J$ проанализированы зависимости квадрупольного и дипольных параметров порядка как от магнитного поля при фиксированном значении ОА, так и от параметра ОА при фиксированном значении h . Важным результатом этой части исследования следует считать зависимость полного момента M от внешнего магнитного поля, которая при $I > J$ и определенном конечном значении параметра ОА качественно воспроизводит аналогичную зависимость, наблюдавшуюся в хорошо известных квантовых антиферромагнетиках на треугольной решетке с одинаковым значением спина $S = 1/2$ для всех подрешеток и без ОА [38, 43]. В частности, на определенном интервале магнитного поля в зависимости $M(h)$ имеется плато намагниченности (имеющее, однако, в нашем случае небольшой наклон), которое в АФМТР возникает за счет квантовых антиферромагнитных флуктуаций, а в $SU3F$ за счет ОА.

Важно отметить, что качественное различие двух фазовых диаграмм при $I < J$ и при $I > J$ таково, что при $I \rightarrow J$ непрерывная трансформация одной диаграммы в другую не имеет места. Дело в том, что при равенстве обменных интегралов ($I = J$) возникает случайное вырождение, приводящее при среднеполевом рассмотрении к неопределенности магнитной конфигурации при заданных значениях магнитного поля и ОА. Наше предположение состоит в том, что, как и в случае АФМТР, учет квантовых флуктуаций должен снять отмеченное случайное вырождение (как, возможно, и отмечавшееся выше дополнительное вырождение при $I < J$). Однако эта задача является предметом отдельного исследования.

Завершая обсуждение полученных в работе результатов, еще раз отметим, что в рассмотренном нами случае магнитное поле \mathbf{h} , приложенное к квантовому SU3F, ориентировано в плоскости легкого намагничивания. При ориентации магнитного поля вдоль нормали к этой плоскости поведение параметров порядка квантового магнетика может быть качественно иным.

Благодарности. Авторы выражают благодарность профессору В.В. Валькову за помощь в постановке задачи исследования, полезные советы и стимулирующее обсуждение полученных результатов.

Финансирование. Исследование выполнено в рамках научной тематики госзадания ИФ СО РАН.

ПРИЛОЖЕНИЕ А. УНИТАРНОЕ ПРЕОБРАЗОВАНИЕ ОПЕРАТОРОВ ХАББАРДА

В результате унитарных преобразований операторов Хаббарда по формуле (20) с унитарным оператором $U_{\tilde{n}\tilde{m}}(\alpha)$ ($n \neq m$), определенным формулой (17), получаются следующие выражения [40]:

$$\begin{aligned} X^{nn} &= \cos^2 \alpha X^{\tilde{n}\tilde{n}} + \sin^2 \alpha X^{\tilde{m}\tilde{m}} - \\ &- \frac{1}{2} \sin 2\alpha (X^{\tilde{n}\tilde{m}} + X^{\tilde{m}\tilde{n}}), \\ X^{mm} &= \cos^2 \alpha X^{\tilde{m}\tilde{m}} + \sin^2 \alpha X^{\tilde{n}\tilde{n}} + \\ &+ \frac{1}{2} \sin 2\alpha (X^{\tilde{n}\tilde{m}} + X^{\tilde{m}\tilde{n}}), \\ X^{nm} &= \cos^2 \alpha X^{\tilde{n}\tilde{m}} - \sin^2 \alpha X^{\tilde{m}\tilde{n}} + \\ &+ \frac{1}{2} \sin 2\alpha (X^{\tilde{n}\tilde{n}} - X^{\tilde{m}\tilde{m}}), \end{aligned}$$

$$\begin{aligned} X^{mn} &= \cos^2 \alpha X^{\tilde{m}\tilde{n}} - \sin^2 \alpha X^{\tilde{n}\tilde{m}} + \\ &+ \frac{1}{2} \sin 2\alpha (X^{\tilde{n}\tilde{n}} - X^{\tilde{m}\tilde{m}}), \\ X^{np} &= \cos \alpha X^{\tilde{n}\tilde{p}} - \sin \alpha X^{\tilde{m}\tilde{p}}, \\ X^{pn} &= \cos \alpha X^{\tilde{p}\tilde{n}} - \sin \alpha X^{\tilde{p}\tilde{m}}, \\ X^{pm} &= \cos \alpha X^{\tilde{p}\tilde{m}} + \sin \alpha X^{\tilde{p}\tilde{n}}, \\ X^{mp} &= \cos \alpha X^{\tilde{m}\tilde{p}} + \sin \alpha X^{\tilde{n}\tilde{p}}, \\ X^{pq} &= X^{\tilde{p}\tilde{q}}, \end{aligned}$$

в которых все четыре индекса состояний p, q, n и m разные, а индексы узлов опущены. В основном тексте для индексов трехкратно преобразованных операторов Хаббарда знак тильды, обозначающий новые (преобразованные) состояния, для краткости не используется.

ПРИЛОЖЕНИЕ В. МАТРИЧНЫЕ ЭЛЕМЕНТЫ СПИНОВЫХ ОПЕРАТОРОВ

В данном приложении представлен явный вид матричных элементов $s_{nm}^\alpha \equiv \langle n | S_l^\alpha | m \rangle$ ($\alpha = \{x, y, z\}$ и $n, m = \{\bar{1}, 0, 1\}$), использованных в разложении (27). Эти элементы получены в результате трех последовательных преобразований операторов Хаббарда с помощью трех унитарных операторов, $U_{1-1}(-\alpha_1)$, $U_{0-1}(-\alpha_3)$ и $U_{10}(-\alpha_2)$, и последующей подстановке результата преобразования в представление (15) для спиновых операторов L -подрешетки.

Матричные элементы в разложении для оператора S_l^z :

$$\begin{aligned} s_{11}^z &= (\cos \alpha_1 \cos \alpha_2 + \sin \alpha_1 \sin \alpha_2 \sin \alpha_3)^2 - \\ &- \sin^2 \alpha_1 \cos^2 \alpha_3, \\ s_{\bar{1}\bar{1}}^z &= (\cos \alpha_1 \sin \alpha_2 \sin \alpha_3 - \sin \alpha_1 \cos \alpha_2)^2 - \\ &- \cos^2 \alpha_1 \cos^2 \alpha_3, \\ s_{00}^z &= \sin^2 \alpha_2 \cos^2 \alpha_3 - \sin^2 \alpha_3, \\ s_{10}^z &= s_{01}^z = -\frac{1}{2} \sin \alpha_1 (1 + \sin^2 \alpha_2) \sin 2\alpha_3 - \\ &- \frac{1}{2} \cos \alpha_1 \sin(2\alpha_2) \cos \alpha_3, \\ s_{\bar{1}0}^z &= s_{0\bar{1}}^z = -\frac{1}{2} \cos \alpha_1 (1 + \sin^2 \alpha_2) \sin 2\alpha_3 + \\ &+ \frac{1}{2} \sin \alpha_1 \sin(2\alpha_2) \cos \alpha_3, \end{aligned}$$

$$s_{11}^z = s_{1\bar{1}}^z = \frac{1}{2} \cos 2\alpha_1 \sin 2\alpha_2 \sin \alpha_3 + \\ + \frac{1}{2} \sin 2\alpha_1 (\sin^2 \alpha_2 \sin^2 \alpha_3 - \cos^2 \alpha_3 - \cos^2 \alpha_2).$$

Для оператора S_l^x :

$$s_{11}^x = \sqrt{2}(\cos \alpha_1 \sin \alpha_2 - \\ - \sin \alpha_1 \sin \alpha_3 \cos \alpha_2)(\cos \alpha_1 \cos \alpha_2 +$$

$$+ \sin \alpha_1 \sin \alpha_3 \sin \alpha_2 + \sin \alpha_1 \cos \alpha_3),$$

$$s_{1\bar{1}}^x = \sqrt{2}(\sin \alpha_1 \sin \alpha_2 + \\ + \cos \alpha_1 \sin \alpha_3 \cos \alpha_2)(\sin \alpha_1 \cos \alpha_2 - \\ - \cos \alpha_1 \sin \alpha_3 \sin \alpha_2 - \cos \alpha_1 \cos \alpha_3),$$

$$s_{00}^x = \frac{1}{\sqrt{2}}(\cos \alpha_2 \sin 2\alpha_3 - \sin 2\alpha_2 \cos^2 \alpha_3),$$

$$s_{11}^x = \frac{\cos 2\alpha_1}{\sqrt{2}}(\sin \alpha_2 \cos \alpha_3 - \sin \alpha_3 \cos 2\alpha_2) - \\ - \frac{\sin 2\alpha_1}{2\sqrt{2}}(\cos \alpha_2 \sin 2\alpha_3 + \sin 2\alpha_2(1 + \sin^2 \alpha_3)),$$

$$s_{10}^x = \frac{\cos \alpha_1}{\sqrt{2}}(\cos 2\alpha_2 \cos \alpha_3 + \sin \alpha_2 \sin \alpha_3) + \\ + \frac{\sin \alpha_1}{\sqrt{2}}(\cos \alpha_2 \cos 2\alpha_3 + \frac{1}{2} \sin 2\alpha_2 \sin 2\alpha_3), \\ s_{10}^x = -\frac{\sin \alpha_1}{\sqrt{2}}(\cos 2\alpha_2 \cos \alpha_3 + \sin \alpha_2 \sin \alpha_3) + \\ + \frac{\cos \alpha_1}{\sqrt{2}}(\cos \alpha_2 \cos 2\alpha_3 + \frac{1}{2} \sin 2\alpha_2 \sin 2\alpha_3),$$

$$s_{11}^x = s_{1\bar{1}}^x, \quad s_{10}^x = s_{01}^x, \quad s_{10}^x = s_{0\bar{1}}^x.$$

Для оператора S_l^y :

$$s_{11}^y = s_{1\bar{1}}^y = s_{00}^y = 0,$$

$$s_{01}^y = \frac{i}{\sqrt{2}}(-\sin \alpha_1 \cos \alpha_2 + \\ + \cos \alpha_1 (\cos \alpha_3 + \sin \alpha_2 \sin \alpha_3)),$$

$$s_{10}^y = \frac{i}{\sqrt{2}}(\cos \alpha_1 \cos \alpha_2 + \\ + \sin \alpha_1 (\cos \alpha_3 + \sin \alpha_2 \sin \alpha_3)),$$

$$s_{11}^y = \frac{i}{\sqrt{2}}(\sin \alpha_2 \cos \alpha_3 - \sin \alpha_3),$$

$$s_{1\bar{1}}^y = -s_{11}^y, \quad s_{10}^y = -s_{01}^y, \quad s_{10}^y = -s_{0\bar{1}}^y.$$

Для оператора $(S_l^y)^2$:

$$\langle 1 | (S_l^y)^2 | 1 \rangle = \frac{1}{2} + \frac{1}{2} \cos^2 \alpha_1 \sin^2 \alpha_2 +$$

$$+ \frac{1}{2} \sin^2 \alpha_1 (\cos^2 \alpha_2 \sin^2 \alpha_3 - \sin \alpha_2 \sin 2\alpha_3) - \\ - \frac{1}{2} \sin 2\alpha_1 \cos \alpha_2 (\sin \alpha_2 \sin \alpha_3 + \cos \alpha_3),$$

$$\langle \bar{1} | (S_l^y)^2 | \bar{1} \rangle = \frac{1}{2} + \frac{1}{2} \sin^2 \alpha_1 \sin^2 \alpha_2 +$$

$$+ \frac{1}{2} \cos^2 \alpha_1 (\cos^2 \alpha_2 \sin^2 \alpha_3 - \sin \alpha_2 \sin 2\alpha_3) + \\ + \frac{1}{2} \sin 2\alpha_1 \cos \alpha_2 (\sin \alpha_2 \sin \alpha_3 + \cos \alpha_3),$$

$$\langle 0 | (S_l^y)^2 | 0 \rangle = \frac{1}{2} (\sin \alpha_2 \sin 2\alpha_3 + \\ + 1 + \cos^2 \alpha_2 \cos^2 \alpha_3),$$

$$\langle \bar{1} | (S_l^y)^2 | 1 \rangle = \frac{1}{4} (\cos^2 \alpha_2 \sin^2 \alpha_3 - \\ - \sin \alpha_2 \sin 2\alpha_3 - \sin^2 \alpha_2) \sin 2\alpha_1 - \\ - \frac{1}{2} \cos 2\alpha_1 \cos \alpha_2 (\sin \alpha_2 \sin \alpha_3 + \cos \alpha_3),$$

$$\langle \bar{1} | (S_l^y)^2 | 0 \rangle = \frac{1}{2} \sin \alpha_1 \cos \alpha_2 (\sin \alpha_3 - \sin \alpha_2 \cos \alpha_3) + \\ + \frac{1}{2} \cos \alpha_1 \left(\sin \alpha_2 \cos 2\alpha_3 - \frac{1}{2} \cos^2 \alpha_2 \sin(2\alpha_3) \right),$$

$$\langle 1 | (S_l^y)^2 | 0 \rangle = \frac{1}{2} \cos \alpha_1 \cos \alpha_2 (\sin \alpha_2 \cos \alpha_3 - \sin \alpha_3) + \\ + \frac{1}{2} \sin \alpha_1 \left(\sin \alpha_2 \cos 2\alpha_3 - \frac{1}{2} \cos^2 \alpha_2 \sin(2\alpha_3) \right),$$

$$\langle 1 | (S_l^y)^2 | \bar{1} \rangle = \langle \bar{1} | (S_l^y)^2 | 1 \rangle, \quad \langle 0 | (S_l^y)^2 | \bar{1} \rangle = \langle \bar{1} | (S_l^y)^2 | 0 \rangle,$$

$$\langle 0 | (S_l^y)^2 | 1 \rangle = \langle 1 | (S_l^y)^2 | 0 \rangle.$$

ПРИЛОЖЕНИЕ С. БОЗОНИЗАЦИЯ СПИНОВЫХ ОПЕРАТОРОВ ДЛЯ $S = 1$

Используя представление (28) в формулах (27) и оставляя только слагаемые не выше второго порядка по базе-операторам, получаем следующее представление спиновых операторов через бозевские:

$$\begin{aligned}
S_l^x &= \frac{1}{\sqrt{2}}[(s_{0,1}^x(c_l^+ + c_l) + s_{1,1}^x(d_l^+ + d_l) + \\
&+ s_{1,0}^x(d_l^+c_l + c_l^+d_l) + s_{1,1}^x + (s_{0,0}^x - s_{1,1}^x)c_l^+c_l + \\
&+ (s_{1,\bar{1}}^x - s_{1,1}^x)d_l^+d_l], \\
S_l^y &= \frac{i}{\sqrt{2}}[s_{0,1}^y(c_l^+ - c_l) + s_{1,1}^y(d_l^+ - d_l) + \\
&+ s_{1,0}^y(d_l^+c_l - c_l^+d_l)], \\
S_l^z &= s_{0,1}^z(c_l^+ + c_l) + s_{1,1}^z(d_l^+ + d_l) + \\
&+ s_{1,0}^z(d_l^+c_l + c_l^+d_l) + s_{1,1}^z + (s_{0,0}^z - s_{1,1}^z)c_l^+c_l + \\
&+ (s_{1,\bar{1}}^z - s_{1,1}^z)d_l^+d_l, \\
(S_l^y)^2 &= \frac{1}{2}[((s_{1,0}^y)^2 - (s_{1,1}^y)^2)c_l^+c_l + \\
&+ ((s_{1,0}^y)^2 - (s_{0,1}^y)^2)d_l^+d_l - \\
&- s_{1,0}^y s_{0,1}^y(d_l^+ + d_l) + s_{1,0}^y s_{1,1}^y(c_l^+ + c_l) + \\
&+ ((s_{0,1}^y)^2 + (s_{1,1}^y)^2) + s_{0,1}^y s_{1,1}^y(d_l^+c_l + c_l^+d_l)].
\end{aligned}$$

Приведенные выражения после усреднения и применения спектральной теоремы для вычисления средних от бозе-операторов использовались для получения формул, на основе которых рассчитывались параметры порядка R_L , M и Q_2^0 .

ЛИТЕРАТУРА

1. B. Barbara, Y. Imry, G. Sawatzky, and P. C. E. Stamp, *Quantum Magnetism*, NATO Science for Peace and Security, Series B: Physics and Biophysics, Springer (2008).
2. *Introduction to Frustrated Magnetism*, Springer Series in Solid-State Sciences, ed. by C. Lacroix, P. Mendels, and F. Mila, Springer (2011).
3. A. Auerbach, *Interacting Electrons and Quantum Magnetism*, Springer-Verlag, New York, Inc. (1994).
4. В. Вальков, С. Г. Овчинников, *Операторы Хабарда и спин-волновая теория гейзенберговских магнетиков с произвольным спином*, ТМФ **50**, 466 (1982).
5. H. H. Chen and P. M. Levy, *Quadrupole Phase Transitions in Magnetic Solids*, Phys. Rev. Lett. **27**, 1383 (1971).
6. V. M. Matveev, *Quantum Quadrupolar Magnetism and Phase Transitions in the Presence of Biquadratic Exchange*, JETP **38**, 813 (1973).
7. M. P. Kashchenko, N. F. Balakhonov, and L. V. Kurbatov, *Spin Waves in an Heisenberg Ferromagnetic Substance with Single-Ion Anisotropy*, JETP **37**, 201 (1973).
8. V. M. Loktev and V. S. Ostrovskii, *Quantum Theory of Uniaxial Ferromagnetic in Transverse Magnetic Field*, Ukr. J. Phys. **23**, 1717 (1978).
9. F. P. Onufrieva, *Exact Solution of the One-Ion Problem for a Magnet with One-Ion Anisotropy in a Field of Arbitrary Direction*, JETP **53**, 1241 (1981).
10. A. F. Andreev and I. A. Grishchuk, *Spin Nematics*, JETP **60**, 267 (1984).
11. F. P. Onufrieva, *Low-Temperature Properties of Spin Systems with h Tensor Order Parameters*, JETP **62**, 1311 (1985).
12. N. Papanicolaou, *Unusual Phases in Quantum Spin-1 Systems*, Nucl. Phys. B **305**, 367 (1988).
13. A. V. Chubukov, *Fluctuations in Spin Nematics*, J. Phys.: Condens. Matter **2**, 1593 (1990).
14. V. V. Val'kov and T. A. Val'kova, *Application of an Indefinite Metric to Go Over to a Bose Description of $Su(3)$ Hamiltonians: The Excitation Spectrum of Spin Nematics*, JETP **72**, 1053 (1991).
15. Yu. A. Fridman, O. A. Kosmachev, and Ph. N. Klevets, *Spin Nematic and Orthogonal Nematic States in $S=1$ Non-Heisenberg Magnet*, J. Magn. Magn. Mat. **325**, 125 (2013).
16. А. И. Смирнов, *Магнитный резонанс спинонов в квантовых магнетиках*, УФН **186**, 633 (2016) [A. I. Smirnov, *Magnetic Resonance of Spinons in Quantum Magnets*, Physics Uspekhi **59**, 564 (2016)].
17. O. A. Kosmachev, Ya. Yu. Matyunina, and Yu. A. Fridman, *Dynamic and Static Properties of a Non-Heisenberg Ferrimagnet with Single-Ion Easy-Axis Anisotropy*, JETP **135**, 354 (2022).
18. H. F. Verona de Resende, F. C. SaBarreto, and J. A. Plascak, *Renormalization Group Treatment of the Mixed-Spin System in D-Dimensional Lattices*, Physica A **149**, 606 (1988).
19. G. M. Zhang and C. Z. Yang, *Monte-Carlo Study of the Two-Dimensional Quadratic Ising Ferromagnet with Spins $S = 1/2$ and $S = 1$ and with Crystal-Field Interactions*, Phys. Rev. B **48**, 9452 (1993).
20. A. Bobak and M. Jurcsin, *A Discussion of Critical Behaviour in a Mixed-Spin Ising Model*, Physica A **240**, 647 (1997).

- 21.** G. M. Buendia and M. A. Novotny, *Numerical Study of a Mixed Ising Ferrimagnetic System*, J. Phys.: Condens. Matter **9**, 5951 (1997).
- 22.** M. Godoy and W. Figueiredo, *Competing Dynamics in the Mixed-Spin Ising Model with Crystal-Feld Interaction*, Physica A **339**, 392 (2004).
- 23.** T. Iwashita and N. Uryu, *The Curie Temperature of the Two-Dimensional Quadratic Ising Ferromagnet with Mixed Spins of $S = 1/2$ and $S=1$* , J. Phys. Soc. Japan **53**, 721 (1984).
- 24.** J. Oitmaa, *Ferrimagnetism and the Existence of Compensation Points in Layered Mixed Spin (1/2, 1) Ising Models*, Phys. Rev. B **72**, 224404 (2005).
- 25.** J. Oitmaa and I. G. Enting, *A Series Study of a Mixed-Spin $S = (1/2, 1)$ Ferrimagnetic Ising Model*, J. Phys.: Condens. Matter **18**, 10931 (2006).
- 26.** W. Selke and J. Oitmaa, *Monte Carlo Study of Mixed-Spin $S = (1/2, 1)$ Ising Ferrimagnets*, J. Phys.: Condens. Matter **22**, 076004 (2010).
- 27.** Ю. А. Фридман, О. А. Космачев, *Квантовые эффекты в анизотропном ферромагнетике*, ФТТ **51**, 1104 (2009).
- 28.** M. Zukovic and A. Bobak, *Frustrated Mixed Spin-1/2 and Spin-1 Ising Ferrimagnets on a Triangular Lattice*, Phys. Rev. E **91**, 052138 (2015).
- 29.** M. Zukovic and A. Bobak, *Mixed Spin-1/2 and Spin-1 Ising Ferromagnets on a Triangular Lattice*, Physica A **436** 509 (2015).
- 30.** E. S. de Santana, A. S. de Arruda, and M. Godoy, *Random-Anisotropy Mixed-Spin Ising on a Triangular Lattice*, Condensed Matter Physics, **26**, 23601 (2023).
- 31.** A. S. Martynov and D. M. Dzebisashvili, *Quantum $Su(3)$ -Ferrimagnet on Triangular Lattice*, J. Magn. Magn. Mat. **584**, (2024) 171906.
- 32.** B. A. Ivanov and A. K. Kolezhuk, *Effective Field Theory for the $S=1$ Quantum Nematic*, Phys. Rev. B **68**, 052401 (2003).
- 33.** A. Lauchli, F. Mila, and K. Penc, *Quadrupolar Phases of the $S=1$ Bilinear-Biquadratic Heisenberg Model on the Triangular Lattice*, Phys. Rev. Lett. **97**, 087205 (2006).
- 34.** В. В. Вальков, М. С. Шустин, *Квантовые ренормировки в анизотропных многоподрешеточных магнитиках и модификация магнитной восприимчивости при облучении*, ЖЭТФ **148**, 984 (2015) [V. V. Val'kov and M. S. Shustin, *Quantum Renormalizations in Anisotropic Multisublattice Magnets and the Modification of Magnetic Susceptibility Under Irradiation*, JETP **121**, 860 (2015)].
- 35.** V. V. Val'kov and M. S. Shustin, *Quantum Theory of Strongly Anisotropic Two- and Four-Sublattice Single-Chain Magnets*, J. Low Temp. Phys. **185**, 564 (2016).
- 36.** Yu. A. Fridman and D. V. Spirin, *Spin Waves in Two-Dimensional Ferromagnet with Large Easy-Plane Anisotropy*, J. Magn. Magn. Mat. **253**, 111 (2002).
- 37.** J. Hubbard, *Electron Correlations in Narrow Energy Bands III. An Improved Solutions*, Proc. Roy. Soc. A **281**, 401 (1964).
- 38.** A. V. Chubukov and D. I. Golosov, *Quantum Theory of an Antiferromagnet on a Triangular Lattice in a Magnetic Field*, J. Phys.: Condens. Matter **3**, 69 (1991).
- 39.** C. Cohen-Tannoudji, B. Diu, and F. Laloe, *Quantum Mechanics*, Wiley-VCH (2019), Vol. 1.
- 40.** V. V. Val'kov, *Unitary Transformations of the Group $U(n)$ and Diagonalization of Multilevel Hamiltonians*, Theor. Math. Phys. **76**, 766 (1988).
- 41.** А. И. Ахиезер, В. Г. Барьяхтар, С. В. Пелетминский, *Спиновые волны*, Наука, Москва (1967).
- 42.** L. D. Landau and E. M. Lifshitz, *Quantum Mechanics: Non-Relativistic Theory*, Elsevier (2013), Vol. 3.
- 43.** T. Coletta, T. A. Toth, K. Penc et al., *Semiclassical Theory of the Magnetization Process on the Triangular Lattice Heisenberg Model*, Phys. Rev. B **94**, 075136 (2016).